

STUDIO DI COMPATIBILITÀ GEOLOGICA E GEOTECNICA

ex-Art. 8 c 2 NTA PAI

Responsabili dello studio:

ORDINE DEL GEOLOGI

RECJONE SERDEGNA

N. 120 DOM. GEOL. RUBERTA MARIA SANNA

Roberta Maria Sanna Geologo

Davide Sechi Ingegnere Idraulico

ORDINE INGEGNERI
PROVINCIA ORISTANO

n. 161 lng. Davidev Sechi

N. 88 Dott. Gen

Collaboratore: Fausto Alessandro Pani – Geologo







Studio di compatibilità geologica e geotecnica – ex-Art. 8 c 2 NTA PAI

INDICE	
1. PREMESSA	
2. INTRODUZIONE	
3. UBICAZIONE E BREVE DESCRIZIONE DELL'OPERA	
4. INQUADRAMENTO GEOGRAFICO E CARTOGRAFICO	
5. IL PAI E LE LINEE GUIDA	
6. MODALITA DI DEFINIZIONE DELLA CLASSE DI PERICOLOSITA' DI FRANA UTILIZZA DAL PAI	ATE
6.1. INDIVIDUAZIONE E PERIMETRAZIONE DELLE AREE A RISCHIO DI FRANA	
6.1.1. INDIVIDUAZIONE DELLE AREE A RISCHIO DI FRANA (FASE I)	
6.1.1.1. CARTA DEI FENOMENI FRANOSI	
6.1.1.2. CARTA DELL'INSTABILITÀ POTENZIALE DEI VERSANTI	11
6.2. ATTRIBUZIONE DEI PESI	12
6.2.1 Pendenza dei versanti	12
6.2.2. Litologia	13
6.2.3 Uso del suolo	14
6.2.4 Classi di instabilità potenziale	14
6.3. ALTRI TEMATISMI DI VERIFICA	15
6.3.1 Esposizione dei versanti	15
6.3.2. Fattori climatici	15
6.4. LA CARTA DI SINTESI DELLA PERICOLOSITA' DA FRANA	16
6.5. VALUTAZIONE DEI LIVELLI DI RISCHIO DI FRANA E PERIMETRAZIONE DELLE AREE II) (NON SVOLTA)	
6.6. INTERVENTI DI MITIGAZIONE DEL RISCHIO (FASE III)(NON SVOLTA)	19
6.7. MISURE DI SALVAGUARDIA	20
6.8. LA PERICOLOSITA' ED IL RISCHIO DA FRANA	21
6.8.1 Perimetrazione delle aree a rischio da frana	21
6.8.2 Aree di pericolosità da frana	
6.8.3. Aree di versante a significativa pericolosità da frana non perimetrale dal PAI	
6.8.4. Fasce di tutela nelle aree a pericolosità da frana	
6.8.5 Aree di rischio da frana	
6.9. TEMATISMI TERRITORIALI DI RIFERIMENTO PER LE ANALISI E CARTOGRAFIA FINA ADEGUAMENTO	23
6.10. CARTA DELLA INSTABILITA' POTENZIALE DEI VERSANTI	
6.11. VALUTAZIONE DELLA PROPENSIONE AL DISSESTO IDROGEOLOGICO DI FRANA	25
6.12. VALUTAZIONE DELLA PROPENSIONE POTENZIALE E REALE AL DISS IDROGEOLOGICO	25
6.13. ATTRIBUZIONE DEI PESI	26
7. INQUADRAMENTO CLIMATICO	28
7.1. INQUADRAMENTO CLIMATICO	28
7.1.1.TERMOMETRIA	29

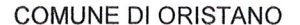




PIANO DI LOTTIZZAZIONE CONVENZIONATA NELLA SOTTOZONA C3 DEL P.U.C. COMPARTO B

Studio di compatibilità geologica e geotecnica – ex-Art. 8 c 2 NTA PAI

7.1.2 ELIOFANIA	30
7.1.3 PRECIPITAZIONI	30
7.1.4 IGROMETRIA	33
7.1.5 BAROMETRIA	33
7.1.6 REGIME ANENOMETRICO	33
7.1.7 CARATTERI EVAPOTRASPIRATIVI	34
7.1.8 CLASSIFICAZIONE CLIMATICA	35
8. GEOLOGIA DEL TERRITORIO DI PROGETTO	35
8.1 CENNI STORICI E RIFERIMENTI BIBLIOGRAFICI	36
8.2. INQUADRAMENTO GEOLOGICO-STRUTTURALE	37
8.3 LA TETTONICA	43
8.4 Geomorfologia del territorio di progetto	45
La piana alluvionale del Tirso	46
I campi dunali fossili ed attuali e subattuali.	46
I PRINCIPALI PROCESSI MORFOGENETICI	47
9. VULNERABILITA' IDROGEOLOGICA E ADEGUAMENTO DEL PUC AL PAI	47
9.1 INQUADRAMENTO TERRITORIALE E NORMATIVO	47
9.2 FINALITÀ DELLA DISCIPLINA DELL'ASSETTO IDROGEOLOGICO	48
9.3 PROCEDURA DI ADEGUAMENTO	49
9.4 INDAGINE STORICA SUI FENOMENI DI DISSESTO	49
8.5 TEMATISMI TERRITORIALI DI RIFERIMENTO PER LE ANALISI E CARTOGRAFIA FINALE DI ADEGUAMENTO	52
10. LE AREE FRANOSE O POTENZIALMENTE FRANOSE	52
11. LA COMPATIBILITÀ DELLA ZONIZZAZIONE PROPOSTA NEL PROGETTO	54







Studio di compatibilità geologica e geotecnica – ex-Art. 8 c 2 NTA PAI

1. PREMESSA

Nell'ambito della progettazione del Piano di lottizzazione convenzionata in Oristano nella sottozona C3 del vigente P.U.C. di Oristano, Comparto B, riguardante le aree edificabili ubicate nella periferia settentrionale dell'abitato di Oristano, comprese tra la proprietà Riccio ad est e la via Cairoli ad ovest, il progettista arch. Rossella Sanna ha incaricato gli scriventi Roberta Maria Sanna, Geologo libero professionista, iscritto all'Ordine dei Geologi della Sardegna al nº 120 e Davide Sechi Ingegnere idraulico, iscritto all'Ordine degli Ingegneri della Provincia di Oristano al nº161, di redigere lo studio Compatibilità Geologica e Geotecnica del piano proposto(art. 8 nta PAI).

La presente relazione supporta la determinazione della compatibilità geologica del progetto inerente una lottizzazione residenziale in zona C nella periferia occidentale di Oristano.

2. INTRODUZIONE

Il territorio del Comune di Oristano è parte del sistema della Piana del Campidano Settentrionale ed occupa un rilevante settore dell'arco del Golfo omonimo.

I sottoscritti professionisti sono stati incaricati di effettuare l'analisi del settore di territorio interessato dal progetto per la verifica della Pericolosità Geologica e Geotecnica sulla base delle NTA. Del PAI

Il presente lavoro, steso in forma coerente con le N.T.A. del P.A.I., Art. 8, comma 2, riguarda l'analisi del territorio ospitante l'area di progetto ed in particolare:

- valuta la puntuale definizione della pericolosità geologica ad una scala di dettaglio;
- analizza le relazioni tra le trasformazioni del territorio derivanti dalla realizzazione dell'intervento proposto e le condizioni dei dissesti attivi o potenziali dell'area interessata;
- prevede eventuali misure di mitigazione e compensazione del pericolo e del rischio riscontrato;

ed in particolare pone attenzione alla:

- edificabilità dei suoli;
- realizzazioni previste nel progetto;
- eventuali interventi da porre in atto per la messa in sicurezza delle aree.

3. UBICAZIONE E BREVE DESCRIZIONE DELL'OPERA

L'area interessata dalla lottizzazione è localizzata nella periferia settentrionale della città di Oristano, tra la proprietà Riccio ad est, Via Manconi Passino a sud e via Cairoli ad ovest.



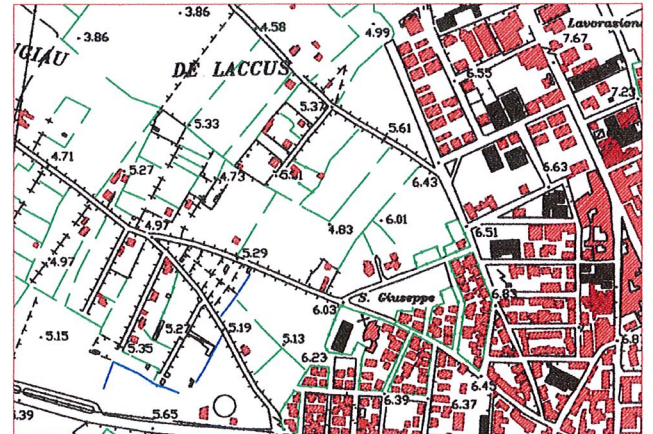


Fig. 3.1 Veduta aerea dell'area d'intervento Fig.3.2 - Planimetria area d'intervento in scala1.10.000



COMUNE DI ORISTANO PIANO DI LOTTIZZAZIONE CONVENZIONATA NELLA SOTTOZONA C3 DEL P.U.C. COMPARTO B



Studio di compatibilità geologica e geotecnica – ex-Art. 8 c 2 NTA PAI

Tale area, classificata come Zona C3 del vigente Piano Urbanistico Comunale, di proprietà privata, è contraddistinta in catasto al F° 6 mapp. 433 e parte dei mappali 1610 e 1629.

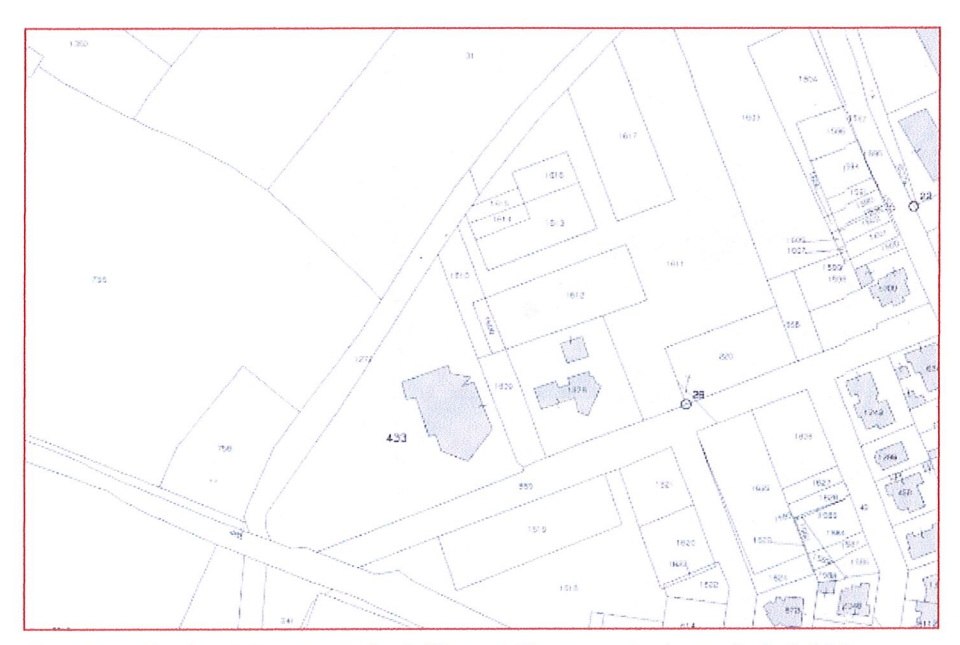


Fig.3.3 - Planimetria catastale dell'area d'intervento in scala 1:1.000

Il progetto, redatto dall'Arch. Rossella Sanna, è riportato nella figura seguente.

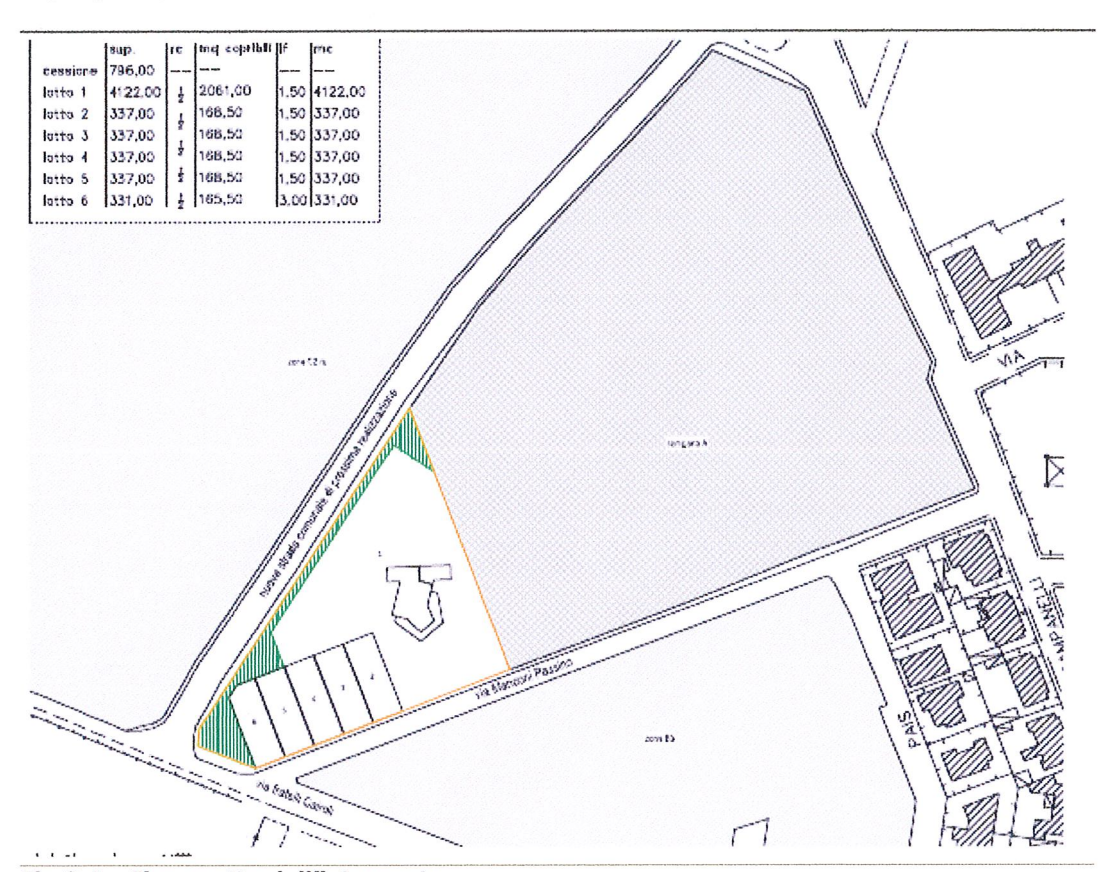
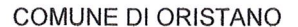


Fig.3.4 - Il progetto dell'intervento







Studio di compatibilità geologica e geotecnica - ex-Art. 8 c 2 NTA PAI

4. INQUADRAMENTO GEOGRAFICO E CARTOGRAFICO

L'area di intervento ricade nella Sardegna centro-occidentale, nel Campidano settentrionale, ed è situata nella periferia settentrionale della città di Oristano.

Questo settore della Sardegna è delimitato a nord dal Massiccio vulcanico del Montiderru, a nord-est dall'altopiano di Paulilatino, est dal Monte Grihine e dall'apparato vulcanico del Monte Arci, a sud-est dalla Marmilla, a sud Campidano meridionale, a sud-ovest dai rilievi di Monte Arcuentu e da Capo Frasca, ad ovest dal Golfo di Oristano, e a nord-ovest dalla penisola del Sinis.

Esso è caratterizzato dalle seguenti unità fisiografiche principali:

- zone umide che caratterizzano quasi integralmente la zona occidentale,
- · sistemi di spiagge e costla alta che si ritrovano da nord a sud dell'ambito,
- dagli espandimenti vulcanici del Monte Arci e più a sud in quelli di Capo Frasca e
- dalla piana alluvionale del Campidano settentrionale.



Nella fig. 4.1 è riportato l'inquadramento dell'area.

Amministrativamente l'area d'indagine ricade in Provincia di Oristano, nel territorio del comune di Oristano.

Il territorio comunale è ricompreso all'interno dell'Ambito n° 9 "Golfo di Oristano" del PTP e nell'ambito del sub-bacino n°2 "Tirso", uno dei sette sub-bacini nei quali è stato suddiviso il Bacino Unico della Regione Sardegna (Del. n. 45/57 del 30.10.1990), e ricade nelle tavole 7, 8, 9, degli allegati cartografici del Piano Assetto Idrogeologico (PAI).

L'area di progetto costituisce un piccolo lembo del Bacino idrografico del Tirso posto tra la città di Oristano e l'argine sinistro del Tirso.

Fig.4.1.-Inquadramento dell'area

L'area di progetto costituisce un piccolo lembo del Bacino idrografico del Tirso posto nella periferia settentrionale dell'abitato di Oristano.



COMUNE DI ORISTANO PIANO DI LOTTIZZAZIONE CONVENZIONATA NELLA SOTTOZONA C3 DEL P.U.C. COMPARTO B



Studio di compatibilità geologica e geotecnica – ex-Art. 8 c 2 NTA PAI

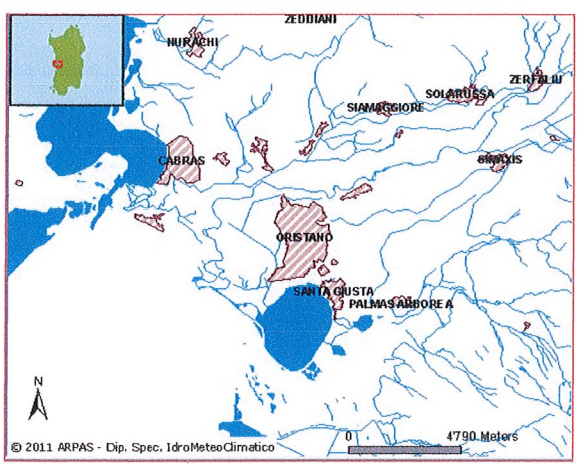


Fig. 4.2 - Reticolo idroografico area vasta

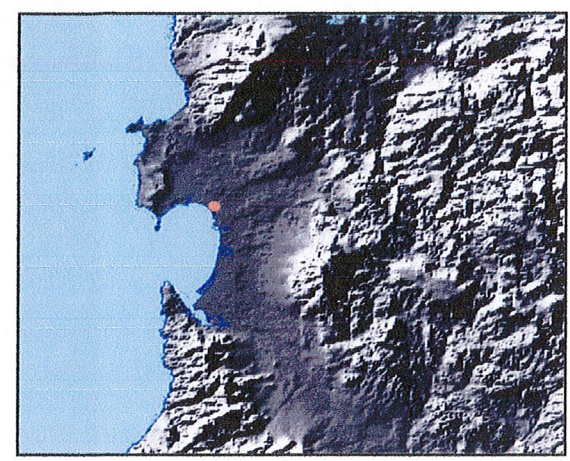


Fig. 4.3 - DTM area vasta

Per il presente lavoro l'area di analisi costituisce l'area dell'intervento e di un congruo intorno. Di tale area d'indagine è allegato alla presente relazione il shp file, come prescritto.



Fig 4.4 Mappa - Il reticolo idrografico visto dalla foce e la zona di intervento in viola

Il territorio di Oristano è compreso nel F° 528 sez I - Oristano nord - e nel F°528 sez. II - Oristano sud- della Carta Topografica d'Italia dell'IGMI a scala 1:25.000.



PIANO DI LOTTIZZAZIONE CONVENZIONATA NELLA SOTTOZONA C3 DEL P.U.C. COMPARTO B



Studio di compatibilità geologica e geotecnica - ex-Art. 8 c 2 NTA PAI

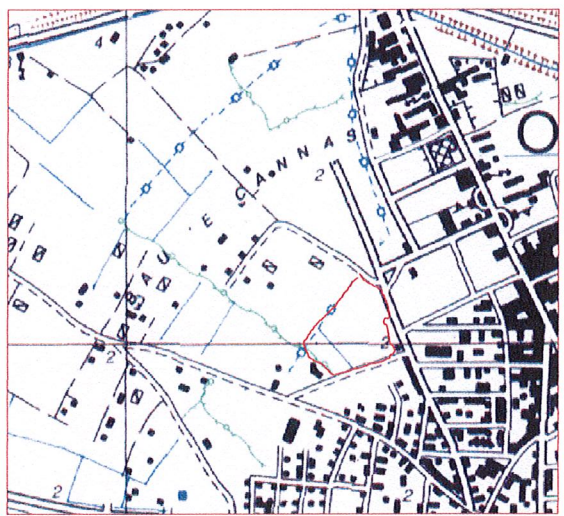


Fig. 4.1 - Stralcio della cartografia IGMI in scala 1:25.000 con l'ubicazione dell'area d'intervento

L'area è ricompresa nelle Sezione 528080 "Oristano" della Carta Tecnica Regionale (CTR) in scala 1:10.000.

5. IL PAI E LE LINEE GUIDA

Nelle more della redazione di un Piano di Bacino unitario, la RAS, in ossequio al D.L. 180 (Sarno) convertito in legge con il nº 267, ha richiesto l'operatività per stralci operativi per la pianificazione tematica dei bacini idrografici, definendo nell'immediato la necessità della mappatura delle aree pericolose sulle quali impostare interventi di urgenza finalizzati alla messa in sicurezza e riduzione del rischio e interventi strutturali finalizzati alla riduzione del pericolo.

Parallelamente definisce la trasformabilità del territorio evitando di istituire nuovo rischio con l'attivazione di nuovi insediamenti e nuove infrastrutture in zone definite pericolose.

Il Piano Stralcio di Bacino per l'Assetto Idrogeologico, redatto dal coordinamento unificato e basato sulle perimetrazioni di pericolosità operate da un diverso gruppo di lavoro per ogni singolo sottobacino regionale, approvato dall'Amministrazione Regionale con Decreto della Giunta Regionale del 30.12.2004 n° 54/33e reso esecutivo con Decreto Assessoriale n° 3 del 21.02.2005, è stato pubblicato sul BURAS n° 8 del 11.03.2005.

Associate al PAI e peraltro costituenti le Linee Guida su cui è stato redatto il PAI stesso, sono state redatte delle Linee Guida di supporto all'attività di perimetrazione delle Aree di pericolosità di Frana (Hg) e di Inondazione (Hi), di definizione degli Elementi a rischio (E), nonché delle aree a conseguente Rischio di Frana (Rg) e di Inondazione (Ri).

Tali Linee Guida, costituiscono altresì fonte di definizione delle Linee Guida di Adeguamento dei Piani Urbanistici al PAI, redatte e diffuse dall'Assessorato dell'Urbanistica e degli Enti Locai della Regione Autonoma della Sardegna.

6. MODALITA DI DEFINIZIONE DELLA CLASSE DI PERICOLOSITA' DI FRANA UTILIZZATE DAL PAI

(da LINEE GUIDA per l'individuazione e la perimetrazione delle aree a rischio idraulico e geomorfologico e delle relative misure di salvaguardia - PAI – RAS)



PIANO DI LOTTIZZAZIONE CONVENZIONATA NELLA SOTTOZONA C3 DEL P.U.C. COMPARTO B



Studio di compatibilità geologica e geotecnica – ex-Art. 8 c 2 NTA PAI

6.1. INDIVIDUAZIONE E PERIMETRAZIONE DELLE AREE A RISCHIO DI FRANA

Le attività da prevedere sono le seguenti:

- Individuazione delle aree a rischio di frana (Fase I)
- Perimetrazione delle aree a rischio e definizione delle misure di salvaguardia (Fase II)
- Programmazione della mitigazione del rischio (Fase III)

6.1.1. INDIVIDUAZIONE DELLE AREE A RISCHIO DI FRANA (FASE I)

Conformemente alle disposizioni del DPCM 29/09/98, per l'attività da svolgersi nell'ambito della fase I occorre avvalersi di un'analisi territoriale svolta in scala adeguata , almeno 1:25.000, in base ad elementi noti e a dati già disponibili. I risultati saranno quindi riportati nel Sistema cartografico in uso presso la Regione Sardegna.

A tale scopo dovrà essere redatta una serie di cartografie tematiche, associate ad un database, che contengano i principali elementi necessari a tale valutazione; questi documenti dovranno poi essere elaborati, mediante procedure di seguito descritte, per ottenere una carta di sintesi della pericolosità da frana, per la quale si ritiene necessaria l'elaborazione delle seguenti carte, che a loro volta sono il risultato di una serie di elaborazioni precedenti.

- carta dei fenomeni di instabilità dei versanti scala di analisi 1:10.000; scala di restituzione
 1: 25.000 che mira a rappresentare i fenomeni franosi di cui si hanno informazioni a vari livelli;
- carta dell'instabilità potenziale dei versanti (fattori della franosità) scala di analisi e di restituzione 1: 10.000 che vuole rappresentare , attraverso procedimenti induttivi, la propensione al dissesto del territorio.

La metodologia proposta per la realizzazione della Carta della pericolosità da frana, si basa su una serie di esperienze, disponibili nella documentazione bibliografica tecnica, ampiamente documentate. Il principio comune su cui si basano le diverse metodologie, volte alla definizione di aree caratterizzate da una diversa propensione al dissesto, è l'analisi dei dissesti, al fine di individuare le condizioni in cui essi si verificano, e la valutazione dell'influenza che tali condizioni rivestono. Saranno inoltre considerati anche altri tematismi, se disponibili, al fine di completare la definizione della pericolosità del territorio esaminato dal punto di vista della stabilità dei versanti; questi ulteriori elementi di giudizio sono legati all'esposizione dei versanti e alle caratteristiche climatiche generali dell'area di indagine. Le conoscenze acquisite vengono poi utilizzate per individuare se le condizioni riscontrate sussistano nelle aree non interessate da fenomeni di instabilità, al fine di prevenirne il manifestarsi.

La metodologia è semplice nella sua impostazione generale, ma è completa perché, come già anticipato, considera i fattori principali che hanno influenza diretta o indiretta sulle condizioni di stabilità. Consiste nella predisposizione di alcune carte tematiche che rappresentano, rispettivamente i fenomeni geomorfologici esistenti sul territorio e i singoli fattori predisponenti alla franosità; e nella verifica attraverso l'incrocio e la sovrapposizione (overlay) di queste carte, secondo il diagramma di flusso schematizzato in Figura 8



COMUNE DI ORISTANO PIANO DI LOTTIZZAZIONE CONVENZIONATA NELLA SOTTOZONA C3 DEL P.U.C. COMPARTO B



Studio di compatibilità geologica e geotecnica – ex-Art. 8 c 2 NTA PAI

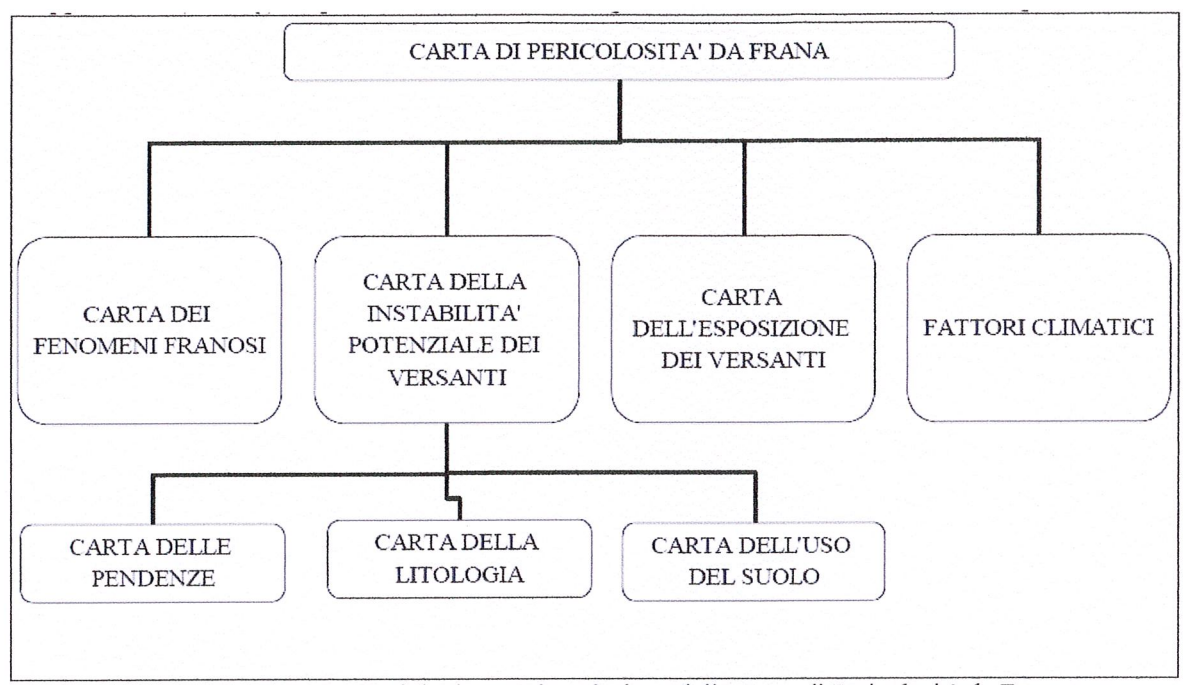


Figura 8 - Schema metodologico per la redazione della Carta di Pericolosità da Frana

6.1.1.1. CARTA DEI FENOMENI FRANOSI

I fenomeni inclusi nel termine movimenti franosi sono elencati nell'allegato A del citato DPCM 29/09/98. Si potranno utilizzare - a corredo delle informazioni disponibili - le informazioni archiviate dal Gruppo Nazionale per la Difesa delle Catastrofi Idrogeologiche del Consiglio Nazionale delle Ricerche (GNDCICNR), nell'ambito del progetto Aree vulnerate italiane (AVI).

Ulteriori informazioni sulle caratteristiche dei singoli fenomeni franosi dovranno essere acquisite mediante la documentazione elaborata dal Servizio Geologico Nazionale (Miscellanea VII, 1996).

Per quanto riguarda la carta dei fenomeni di instabilità dei versanti , in particolare, di dovrà procedere a:

- raccogliere tutti gli elementi necessari per la caratterizzazione geologica e geomorfologica del territorio dei singoli sub-bacini rilevare, alla scala 1:10.000 e restituire, nella versione definitiva in scala 1:25.000, i dissesti e i fenomeni morfologici esistenti distinti e descritti in base alla genesi e allo stato di attività;
- valutare l'evoluzione temporale dei fenomeni censiti e rilevati mediante analisi fontointerpretativa;
- considerare gli interventi di stabilizzazione realizzati o in via di progettazione e/o realizzazione.



PIANO DI LOTTIZZAZIONE CONVENZIONATA NELLA SOTTOZONA C3 DEL P.U.C. COMPARTO B



Studio di compatibilità geologica e geotecnica - ex-Art. 8 c 2 NTA PAI

Tabella 10 - Legenda tipo delle forme di versante.

Codice	Forme	attiva	non attiva
Coarce	A.Denudazione		
VG1	Nicchia di frana di crollo	X	x
VG2	Nicchia di frana di scorrimento	X	x
VG3	Nicchia di frana di colamento	X	X
VG7	Superficie dissestata da soliflusso		
VG10	Canalone in roccia (e non) con colate di detrito-		
	debris flow		
	B. Accumulo		
VG12	Corpo di frana di crollo	X	X
VG13	Corpo di frana di scorrimento	x	x
VG14	Corpo di frana di colamento	X	X
VG15	Piccola frana non classificabile		
VG16	Detrito di versante		
VG17	Cono di detrito	х	colonizzato dalla vegetazione
VG18	Falda di detrito	х	colonizzata dalla vegetazione
VG22	Deformazioni gravitative profonde		

La Carta dei fenomeni di instabilità dei versanti è stata realizzata sulla base di uno studio approfondito dell'intero territorio dei singoli sub-bacini in scala 1:10.000; la scala di restituzione è 1:25.000.

In essa, oltre alle forme legate all'orografia e strutturali, all'idrografia superficiale, all'azione delle acque correnti superficiali (fluviali e di versante) e all'azione antropica, verranno rappresentate le forme legate all'azione della gravità.

La legenda di riferimento è quella proposta dal Servizio Geologico Nazionale, di seguito, a titolo di esempio, si riporta un breve elenco delle forme di versante dovute alla gravità (colore rosso-Stabilo 40; Stabilo 54).

I risultati di questa fase condurranno alla realizzazione di una Carta Inventario dei fenomeni Franosi, utile per la definizione delle zone a differente pericolosità e, quindi, alla perimetrazione delle aree a rischio.

6.1.1.2. CARTA DELL'INSTABILITÀ POTENZIALE DEI VERSANTI

Per quanto riguarda la Carta dell'instabilità potenziale dei versanti, che rappresenta le condizioni di franosità e di instabilità potenziale dei versanti, si deve disporre di alcune caratteristiche generali dei versanti (litologia, pendenza, uso del suolo, etc.).

L'elaborazione e l'analisi dei dati, secondo la metodologia descritta nel seguito, può essere agevolmente effettuata attraverso l'utilizzando un sistema informativo geografico (GIS) ovvero mediante altre tecniche semiautomatiche o manuali; la rappresentazione dei risultati potrà essere effettuata alla scala 1:25.000.

La metodologia di riferimento, condotta su base puramente qualitativa, si fonda sull'individuazione dei principali elementi descrittivi che giocano un ruolo fondamentale nella propensione al dissesto dei versanti; si tratta dei caratteri morfologici, della composizione litologica, delle condizioni di copertura vegetale e di esposizione dei versanti, delle caratteristiche geomorfologiche e dei fattori climatici.

La metodologia, alla scala di indagine del presente lavoro, è semplificata; non possono essere, infatti, considerati i fattori "scatenanti" (quale, ad esempio, la piovosità) né vengono presi in



PIANO DI LOTTIZZAZIONE CONVENZIONATA NELLA SOTTOZONA C3 DEL P.U.C. COMPARTO B



Studio di compatibilità geologica e geotecnica – ex-Art. 8 c 2 NTA PAI

considerazione le condizioni idrogeologiche locali (circolazione idrica nel versante); i parametri geotecnici dei terreni e delle rocce che costituiscono il pendio; la giacitura degli strati; il grado di fratturazione e di alterazione delle rocce.

Ciò trova giustificazione da un lato nella scala delle approssimazioni e nei caratteri di speditezza delle analisi previste per la redazione dei PSB; dall'altro la mancanza di dati omogenei e affidabili, relativi a questi elementi, per un territorio vasto, quale quello di una intera regione, comporta una necessità di semplificazione dei fattori di valutazione, che, ovviamente, ad una scala di maggior dettaglio, ad esempio comunale, dovrebbe essere evitata.

Dapprima gli elementi dei singoli tematismi sono raggruppati in classi, per ottenere una rappresentazione aggregata del territorio; ad ogni classe viene attribuito un valore (peso) in funzione del ruolo esercitato nella produzione di un dissesto. Nelle successive operazioni di sovrapposizione, si effettua una combinazione (somma algebrica) dei valori assegnati, fino ad ottenere un punteggio finale, che rappresenta l'influenza complessiva che i fattori considerati hanno sulla stabilità del versante.

Questo valore ricade in un intervallo definito cui corrisponde una classe di instabilità potenziale.

Sulla base della documentazione esistente e che verrà resa disponibile, vengono considerati i seguenti fattori di analisi

- 1. pendenza dei versanti
- 2. litologia
- 3. uso del suolo.

La prima operazione avviene effettuando l'incrocio tra due elementi naturali che possono essere ritenuti costanti e non modificabili in tempi brevi, cioè la pendenza dei versanti e la litologia. La seconda operazione prevede l'incrocio tra il risultato della prima (somma algebrica dei pesi) e un elemento che invece può essere variato e può variare nel breve periodo sia dal punto di vista della copertura vegetale che dell'intervento antropico: l'uso del suolo.

6.2. ATTRIBUZIONE DEI PESI

6.2.1 Pendenza dei versanti

La pendenza dei versanti è un fattore molto importante in quanto maggiore è l'inclinazione di un pendio, maggiore è la tendenza al dissesto per effetto della gravità, dell'azione degli agenti atmosferici, senza la protezione della vegetazione che non riesce a insediarsi. **A titolo di esempio** si può ritenere che le classi di pendenza presenti siano cinque; si attribuiscono i seguenti pesi, compresi tra -2 e +2.



PIANO DI LOTTIZZAZIONE CONVENZIONATA NELLA SOTTOZONA C3 DEL P.U.C. COMPARTO B



Studio di compatibilità geologica e geotecnica – ex-Art. 8 c 2 NTA PAI

Tabella 11 - Pesi delle diverse classi di pendenza dei versanti.

Classi di pendenza	Peso
0- 10%	+2
11-20%	+1
21-35%	0
36-50%	-1
>50%	-2

6.2.2. Litologia

Per litologia, non si intendono unicamente le caratteristiche della natura dei terreni (sedimentari, vulcanici, metamorfici) ma anche le caratteristiche fisico-meccaniche ad essi relative (compattezza, grado di cementazione, stratificazione, scistosità).

Per l'attribuzione dei pesi si farà riferimento alle principali esperienze metodologiche riportate in bibliografia e alla conoscenza diretta delle caratteristiche dei litotipi affioranti nel territorio di studio. La scala dei valori da applicare va da 1 e 10; i valori più alti corrispondono ai termini litologici più resistenti, compatti, poco alterati, mentre quelli più bassi ai termini più fragili e sciolti. In tabella sono indicati, a titolo di esempio, i pesi relativi ad alcune classi litologiche individuabili nel territorio regionale sardo.

Tabella 12 - Attribuzione dei pesi alle classi litologiche.

classe	Descrizione	peso
1.	detrito di falda, coni detritici e conoidi di deiezione	1
2.	Depositi lagunari, lacustri e palustri	4
3.	Alluvioni ghiaiose recenti ed attuali degli alvei fluviali	5
4.	Alluvioni ghiaiose, antiche e terrazzate	5
5.	Alluvioni prevalentemente sabbiose	6
6.	Depositi alluvionali prevalentemente limoso-argillosi	5
7.	Depositi argillosi	2
8.	sabbie eoliche	2
9.	sabbie, anche grossolane con livelli ghiaiosi ed intercalazioni di arenarie	3
10.	arenarie, arenarie conglomeratiche	
11.	marne	4
12.	calcari, calcari marnosi	7
13.	dolomie, dolomie calcaree e calcari dolomitici	8
14.	Calcescisti, micascisti, argilloscisti	4
15.	anfiboliti	7
16.	gneiss con elevata densità di giunti di fratturazione	5
17.	gneiss massicci e con giunti di fratturazione radi	8
18.	tufi, tufi conglomeratici	3
19.	ignimbriti	7
20.	basalti,	8
21.	trachiti, fonoliti	7
22.	andesiti	5
23.	rioliti massicce	7
24.	graniti, granodioriti alterati con potenti coperture di sabbioni arcosici	2
25.	graniti, granodioriti massicci privi di copertura ed alterazione	9



PIANO DI LOTTIZZAZIONE CONVENZIONATA NELLA SOTTOZONA C3 DEL P.U.C. COMPARTO B



Studio di compatibilità geologica e geotecnica – ex-Art. 8 c 2 NTA PAI

6.2.3 Uso del suolo

La presenza di una copertura vegetale costituisce una protezione della superficie del terreno all'azione degli agenti atmosferici e un'azione di consolidamento esercitata dall'apparato radicale. Un bosco ad alto fusto è, generalmente, un impedimento al dissesto idrogeologico (massima impedenza), mentre un terreno lavorato stagionalmente, arato con sistemazione ad esempio a "rittochino" è uno scarso impedimento all'erosione e all'instabilità del pendio (impedenza minima o nulla).

In Tabella 13 si riportano, a titolo di esempio, alcune classi di uso del suolo18 che si ritengono presenti sul territorio regionale sardo; ad ogni classe è stato attribuito un peso, secondo le principali esperienze metodologiche riportate in bibliografia.

Le classi relative all'uso antropico (tessuto urbano e aree industriali) sono state genericamente valutate con peso "0", in relazione alla scala dello studio senza poter considerare particolari situazioni locali; alle aree estrattive è stato riconosciuto un ruolo di degrado (in quanto modificano le condizioni di stabilità); alle reti stradali è stato attribuito un valore di impedenza minima, in quanto l'intaglio stradale è comunque un fattore di disturbo delle condizioni naturali. Nella stessa tabella sono indicati i valori di impedenza e i pesi ad esse corrispondenti.

Tabella 13 - Classi di uso del suolo secondo il CORINE - Land Cover.

Sigla	Classi di uso del suolo	Impendenza	Peso
111	Tessuto urbano continuo	mediocre	0
112	Tessuto urbano discontinuo	mediocre	0
121	Aree industriali e commerciali	mediocre	0
122	Reti stradali e ferroviarie e spazi accessori	minima	-1
124	Aeroporti	mediocre	0
131	Aree estrattive	nulla	-2
133	Aree in costruzione	minima	-1
211	Seminativi in aree non irrigue	nulla	-2
221	Vigneti	nulla	-2
222	Frutteti	mediocre	0
231	Prati stabili	mediocre	0
242	Sistemi colturali particellari complessi	minima	-1
243	Aree prevalentemente occupate da colture agrarie	nulla	-2
311	Boschi di latifoglie	massima	+2
312	Boschi di conifere	massima	+2
313	Boschi misti	massima	+2
321	Aree a pascolo naturale e prateria d'alta quota	mediocre	0
322	Brughiere e cespuglieti	buona	+1
324	Aree vegetazione boschiva e arbustiva in evoluzione	buona	+1
331	Spiagge, dune, sabbie	nulla	-2
332	Rocce nude, falesie, rupi e affioramenti	nulla	-2
333	Aree con vegetazione rada	minima	-1
411	Paludi	nulla	-2
511	Corsi d'acqua, canali e idrovie	nulla	-2
512	Bacini d'acqua	nulla	-2

6.2.4 Classi di instabilità potenziale

Sulla base della considerazione dei fattori descritti nelle pagine precedenti e delle esperienze metodologiche, si definiscono le classi di instabilità potenziale dei versanti a cui corrispondono intervalli di valori (pesi) derivati dalle operazioni di sovrapposizione previste.



PIANO DI LOTTIZZAZIONE CONVENZIONATA NELLA SOTTOZONA C3 DEL P.U.C. COMPARTO B



Studio di compatibilità geologica e geotecnica – ex-Art. 8 c 2 NTA PAI

Si propongono 5 classi di instabilità potenziale, con valore decrescente di gravità; la classe di maggiore instabilità è quella corrispondente a valori più bassi dei pesi (ridotte quindi sono le qualità dei fattori considerati) mentre un pendio stabile è rappresentato dai valori più alti (i fattori che contribuiscono hanno buone caratteristiche di tenuta). Sono riportate nella seguente Tabella 14.

Tabella 14 - Classi di instabilità potenziale

Classe di	Di-i	Pesi		
instabilità	Descrizione	da	а	
1	Situazione potenzialmente stabile	10	12	
2 Instabilità potenziale limitata 3 Instabilità potenziale media 4 Instabilità potenziale forte		2	7	9
		4	6	
		1	3	
5	Instabilità potenziale massima	-3	0	

6.3. ALTRI TEMATISMI DI VERIFICA

6.3.1 Esposizione dei versanti

L'esposizione influisce sui processi di trasformazione dei versanti, in quanto i versanti esposti a nord sono quelli più freddi e umidi (con cicli giornalieri, non solo stagionali), mentre quelli esposti a sud hanno condizioni più miti. Nella Tabella 15 che segue si riporta a titolo di esempio una classificazione in base all'esposizione dei versanti; sono indicate 16 classi più una classe speciale per le aree di pianura.

Tabella 15 - Classificazione dell'esposizione dei versanti.

Classe	Orientazione
1	N
2	NNE
3	NE
4	NEE
5	E
6	EES
7	ES
8	SSE
9	S
10	SSO
11	SO
12	OOS
13	0
14	OON
15	ON
16	ONN
-1	aree di pianura

6.3.2. Fattori climatici







Studio di compatibilità geologica e geotecnica - ex-Art. 8 c 2 NTA PAI

degrado e il disfacimento delle rocce e la conseguente produzioni di detriti sciolti e instabili. Dati bibliografici19, indicano la piovosità media annua come fattore predisponente al dissesto, secondo la seguente Tabella 16.

Tabella 16 - Influenza della piovosità media annua sulla propensione al dissesto.

zona
sicuramente franosa
probabilmente franosa
mediamente franosa
raramente franosa
non franosa

Nell'ambito di studio, il fattore "precipitazioni" ha indubbiamente una notevole influenza sulla stabilità dei versanti, a causa dei valori elevati e dell'intensità dei fenomeni registrati.

6.4. LA CARTA DI SINTESI DELLA PERICOLOSITA' DA FRANA

La Carta di sintesi della pericolosità deriva dalla verifica dei risultati dell'analisi geomorfologica di terreno aggiornata all'anno 2000 (fenomeni effettivamente presenti sul territorio - vedi "Carta dei fenomeni franosi") e dell'analisi delle condizioni di potenziale instabilità (vedi "Carta dell'instabilità potenziale dei versanti").

La "Carta di sintesi di pericolosità da frana" fornisce pertanto il quadro delle condizioni di stabilità del territorio dei singoli sub-bacini; essa si limita alla rappresentazione dei fenomeni di dissesto in atto e dei fattori che determinano la suscettibilità dei versanti al verificarsi di movimenti gravitativi e di massa .

La "Carta di sintesi di pericolosità da frana", dovrà rappresentare la condizione di pericolosità del territorio, indicata attraverso il parametro Hg, secondo quattro livelli indicati nella Tabella 17, a ciascuno dei quali si è attribuito un "peso" su base puramente empirica:

Tabella 17 - Definizione dei livelli di pericolosità del territorio.

	Pericolosità	
Classe	Intensità	Peso
$H_g I$	Moderata	0,25
$H_{\rm g}2$	Media	0,50
H_g3	Elevata	0,75
H_g4	Molto elevata	1

L'attribuzione del livello (ovvero del peso) di pericolosità ad un'area discenderà dal confronto tra lo stato di fatto attuale dei fenomeni franosi e le condizioni generali di instabilità potenziale sulla base di alcuni criteri generali quali:

- prevalenza di classe di instabilità potenziale
- presenza di indizi geomorfologici
- presenza di fenomeni di dissesto in atto e di indizi di movimento
- presenza di fattori tettonici (presenza di faglie o lineazioni riconosciute)



PIANO DI LOTTIZZAZIONE CONVENZIONATA NELLA SOTTOZONA C3 DEL P.U.C. COMPARTO B



Studio di compatibilità geologica e geotecnica – ex-Art. 8 c 2 NTA PAI

- presenza di copertura boschiva
- presenza di fattori altimetrici
- orientazione del versante.

In particolare, qui di seguito si specificano in dettaglio i quattro livelli di pericolosità al fine di una omogenea attribuzione.

H1 - Aree a pericolosità moderata

Le aree che ricadono in questa classe sono caratterizzate da condizioni generali di stabilità dei versanti, ovvero presentano i seguenti caratteri:

- classi di instabilità potenziale limitata o assente (classe 2 e classe 1)
- presenza di copertura boschiva
- esposizione prevalente dei versanti: Nord
- litologia prevalente: depositi alluvionali sabbiosi, calcari, dolomie e calcari dolomitici, etc.

H2 - Aree a pericolosità media

Le aree che ricadono in questa classe sono caratterizzate da prevalenti condizioni di media pericolosità, in particolare da:

- classe di instabilità potenziale media (classe 3)
- fenomeni di soliflusso
- · fenomeni di dilavamento diffuso
- frane di crollo non attive/stabilizzate
- · frane di scorrimento attive/stabilizzate
- aree di conoidi non attivatisi recentemente o completamente protette da opere di difesa
- superfici degradate per pascolamento
- presenza di copertura boschiva
- esposizione prevalente dei versanti: Nord
- litologia prevalente: depositi alluvionali depositi sabbiosi, porfidi, marmi saccaroidi e dolomitici, graniti massicci

H3 - Aree a pericolosità elevata

Le aree che ricadono in questa classe sono prevalentemente caratterizzate da fenomeni quiescenti e

potenziali tali da condizionare l'uso del territorio; in particolare da:

- classe di instabilità potenziale forte (classe 4)
- presenza di lineamenti tettonici
- pareti in roccia
- orlo di scarpata o di terrazzo
- falde e coni di detrito colonizzati
- fenomeni di erosione delle incisioni vallive
- frane di crollo quiescenti
- frane di scorrimento quiescenti
- deformazioni gravitative profonde di versante non attive
- aree di conoidi attivi o potenzialmente attivi parzialmente protette da opere di difesa e di sistemazione a monte
- fenomeni di fluidificazione dei suoli
- fenomeni di soliflusso
- fenomeni di dilavamento diffuso e concentrato



PIANO DI LOTTIZZAZIONE CONVENZIONATA NELLA SOTTOZONA C3 DEL P.U.C. COMPARTO B



Studio di compatibilità geologica e geotecnica – ex-Art. 8 c 2 NTA PAI

 litologia prevalente: depositi detritici; depositi alluvionali antichi, recenti, attuali; depositi argillosi e marnosi; calcescisti, micascisti, argilloscisti; filladi; anfiboliti, gneiss fratturati; graniti alterati con copertura di sabbioni.

H4 - Aree a pericolosità molto elevata

Le aree che ricadono in questa classe sono, in prevalenza, caratterizzate da una concentrazione di fenomeni in atto tali da condizionare fortemente l'uso del territorio; in particolare

da

- classe di instabilità potenziale massima (classe 5)
- falde e coni di detrito attivi, in particolare posizionati in quota e su versanti esposti a sud
- aree di conoidi attivi o potenzialmente attivi non protette da opere di difesa e di sistemazione a
- monte
- canaloni in roccia (e non) con scarico di detrito
- frane di crollo attive
- frane di scorrimento attive
- scivolamenti rapidi in roccia, detrito, fluidificazione di terreni sciolti superficiali
- piccole frane
- · deformazioni gravitative profonde di versante attive
- crolli e fenomeni di instabilità lungo l'intaglio stradale.
- litologia prevalente: detrito di falda, coni detritici e conoidi di deiezione, alluvioni ghiaiose, antiche e terrazzate, sabbie eoliche, sabbie, anche grossolane con livelli ghiaiosi ed intercalazioni di arenarie, tufi, tufi conglomeratici, graniti, granodioriti alterati con potenti coperture di sabbioni arcosici

6.5. VALUTAZIONE DEI LIVELLI DI RISCHIO DI FRANA E PERIMETRAZIONE DELLE AREE (FASE II) (non svolta)

Sulla base dei risultati della Fase I, che forniscono indicazioni sulla "pericolosità" delle singole aree nel territorio del sub-bacino indagato, si dovrà nella Fase II procedere alla valutazione dei livelli di rischio in relazione alla presenza di persone e di beni, ed alla loro perimetrazione.

In conseguenza di ciò si dovrà quindi procedere alla definizione degli interventi per la mitigazione del rischio adeguate al livello precedentemente attribuito. Incrociando la pericolosità (Hg) con le classi di elementi a rischio (E), l'attribuzione della classe di rischio (Rg1 \leq 0.25; 0.25 < Rg 2 \leq \square 0.50; 0.5 < Rg 3 \leq \square 0.75; 0.75 < Rg 4 \leq 1.00) potrà essere effettuata utilizzando la seguente matrice:

Tabella 18 - matrice di valutazione del rischio di frana.

	$H_g I$	$H_g 2$	$H_g 3$	$H_g 4$
E1	$R_{g,1}$	$R_{g \ I}$	$R_{g \ 1}$	$R_{g,1}$
<i>E2</i>	$R_{g,1}$	$R_{g,l}$	$R_{g,2}$	$R_{g,2}$
<i>E3</i>	R_{g-1}	$R_{g,2}$	$R_{g,3}$	$R_{g,3}$
E4	R_{g-1}	$R_{g,2}$	$R_{g,3}$	R_{g} 4

La rappresentazione cartografica della perimetrazione preliminare delle aree a rischio di frana



PIANO DI LOTTIZZAZIONE CONVENZIONATA NELLA SOTTOZONA C3 DEL P.U.C. COMPARTO B



Studio di compatibilità geologica e geotecnica – ex-Art. 8 c 2 NTA PAI

dovrà essere effettuata alla scala 1:25.000; la rappresentazione cartografica della perimetrazione preliminare delle aree a rischio di frana molto elevato (Rg 4) ed elevato (Rg 3) dovrà essere effettuata alla scala 1:10.000.

6.6. INTERVENTI DI MITIGAZIONE DEL RISCHIO (FASE III)(non svolta)

In relazione alle situazioni e al livello di rischio riscontrate nel corso delle attività svolte nelle precedenti Fase I e Fase II, la fase finale dei piani dovrà:

- 1) definire eventuali programmi di interventi urgenti per la riduzione del rischio
- 2) predisporre un programma di interventi atti a mitigare il livello di rischio rilevato.

Secondo le indicazioni del DPCM 29.09.1998 in questa fase per ogni sub-bacino sono stati effettuati:

- analisi e elaborazioni anche grafiche, sufficienti ad individuare le tipologie di interventi da realizzare per la mitigazione o per la rimozione dello stato di pericolosità;
- analisi e elaborazioni anche grafiche, sufficienti a consentire l'individuazione, la programmazione e la progettazione preliminare per l'eventuale finanziamento degli interventi strutturali e non strutturali di mitigazione del rischio o per l'apposizione di vincoli definiti all'utilizzazione territoriale comprese le indicazioni delle eventuali, necessarie delocalizzazioni di insediamenti;
- indagini geologiche e geotecnica per l'acquisizione dei parametri e elementi di valenza progettuale;
- l'acquisizione dei parametri e elementi utili al monitoraggio eventuale del rischio.

Gli interventi che dovranno essere individuati saranno sostanzialmente ascrivibili alle due categorie degli interventi strutturali e non strutturali.

Interventi strutturali

Si intendono opere di:

- · manutenzione ordinaria e straordinaria della sezione fluviale,
- sistemazioni integrate versanti-rete idrografica;
- arginature compatibili alle necessità di smaltimento a valle;
- · opere di laminazione delle piene;
- canali scolmatori;
- utilizzo di invasi esistenti per laminazione di piena;
- sistemazione dei versanti, consolidamento scarpate con specie arboree ed arbustive autoctone e secondo un criterio funzionale di rapido attecchimento, crescita e efficacia;
- regimazione delle acque di scorrimento superficiale, al fine di limitare l'infiltrazione sui pendii a rischio (rifacimento rete scolante, esecuzione di drenaggi superficiali e sotterranei);
- adozione di tecniche di coltivazione agricola che favoriscano l'instaurarsi e il mantenimento di condizioni di stabilità;
- ripristino della funzione prioritaria del bosco per la costruzione del manto vegetale;
- creazione di appositi vivai specializzati in piante autoctone arboree ed arbustive che potrebbero coprire il fabbisogno per gli interventi di forestazione e di sistemazione delle



PIANO DI LOTTIZZAZIONE CONVENZIONATA NELLA SOTTOZONA C3 DEL P.U.C. COMPARTO B



Studio di compatibilità geologica e geotecnica – ex-Art. 8 c 2 NTA PAI

aree instabili e produrre un incremento quantitativo e qualitativo della manodopera specializzata legata i lavori forestali; corsi di formazione professionale e di aggiornamento nel campo di manutenzione e interventi di ingegneria naturalistica;

 progressiva limitazione o modifica dell'uso di tecniche di lavorazione dei terreni, (ad esempio a "rittochino", lungo le linea di massima pendenza, causa di aumento dei fenomeni di ruscellamento e di erosione superficiale, di eliminazione di terrazzi, etc.).

Interventi non strutturali

Si potrà prevedere una proposta di indirizzi e direttive da introdurre, a vari livelli, negli strumenti di pianificazione territoriale e urbanistica nonché di pianificazione di settore ed in particolare nella pianificazione di bacino idrografico. Si intende inoltre la specifica pianificazione d'emergenza ai vari livelli (sistemi di allertamento e di allarme) e le attività di informazione e formazione culturale sui diversi tipi di rischi e sui comportamenti da assumere in caso di emergenza.

In sintesi potranno essere quindi formulati:

- indirizzi che la Regione attuerà in collaborazione con Province, Comunità Montane, Comuni
 e Enti per la predisposizione di normative, la redazione di linee guida alla progettazione e
 per la azioni di difesa, l'acquisizione di finanziamenti per progetti pilota e altro da
 identificare. etc.;
- direttive che la Regione attuerà in collaborazione con Province, Comunità Montane, Comuni
 e Enti per promuovere la predisposizione di sistemi di monitoraggio per il controllo nel
 tempo dell'evoluzione delle piene fluviali e dei fenomeni di dissesto, la predisposizione dei
 piani di allertamento, di emergenza e di protezione per le popolazioni esistenti, la
 disseminazione dell'informazione e la formazione a tutti i livelli, soprattutto nella
 popolazione scolastica.

6.7. MISURE DI SALVAGUARDIA

È compito dei redattori sub-bacino definire le misure di salvaguardia per prevenire o minimizzare il rischio di frana e di inondazione secondo le direttive del DPCM 29/09/98. Nella predisposizione delle misure di salvaguardia si dovrà tenere conto della tutela e conservazione del patrimonio ambientale e dei beni culturali.

a) Aree a rischio molto elevato ed elevato - Livello R_4i,g e R_3i,g,

Per queste aree dovranno essere definite le misure di salvaguardia, ai sensi del punto 3.2 Misure di salvaguardia per rischio di frana del DPCM 29.09.1998.

In linea generale, nelle aree a rischio, con diversificazione in funzione della gravità del rischio stesso, verranno identificati gli usi del territorio in:

- o privilegiati
- o consentiti
- o condizionati
- o esclusi.



PIANO DI LOTTIZZAZIONE CONVENZIONATA NELLA SOTTOZONA C3 DEL P.U.C. COMPARTO B



Studio di compatibilità geologica e geotecnica – ex-Art. 8 c 2 NTA PAI

Per quanto concerne il rischio di inondazione, le misure di salvaguardia dovranno specificatamente indicare gli interventi idraulici necessari per la messa in sicurezza delle aree, tali da migliorare significativamente le condizioni di funzionalità idraulica, da non aumentare il rischio di inondazione a valle e da non pregiudicare la possibile attuazione di una sistemazione idraulica definitiva..

Per quanto concerne il rischio di frana, le misure dovranno identificare le aree nelle quali saranno consentiti esclusivamente gli interventi di demolizione senza ricostruzione; gli interventi di manutenzione ordinaria cosi come definiti alla lettera a) dell'art. 31 della legge n. 457/1978; gli interventi strettamente necessari a ridurre la vulnerabilità degli edifici esistenti e a migliorare la tutela della pubblica incolumità, senza aumenti di superficie e volume, senza cambiamento di destinazione d'uso che comportino aumento del carico urbanistico.

Dovranno altresì essere indicate le norme, gli strumenti ed i soggetti responsabili delle concessioni e dei controlli atti a consentire gli interventi previsti alla lettera a) e b) del punto 3.1 del citato DPCM. Particolare attenzione dovrà essere rivolta alla regolamentazione delle attività estrattive di cava e agli attingi menti.

b) Aree a rischio medio e moderato - Livello R_2i,g e R_1i,g.

Nell'ambito del presente lavoro, per il significato e l'importanza che viene attribuito alla sviluppo della prevenzione e della cultura della prevenzione al fine di non generare in futuro nuove situazioni di rischio, si provvederà comunque a definire, oltre l'individuazione e la perimetrazione, le relative misure di salvaguardia. (DPCM 29.09.1998-Premesse) anche per le aree a rischio medio) e moderato da considerare "aree di attenzione".

In particolare anche per le aree a rischio in cui il grado di pericolosità è elevato ma per l'assenza, o la scarsità, di persone, cose e patrimonio ambientale, è attribuita una classe di rischio limitata (livelli 1 e 2), saranno comunque considerate, e indicate, eventuali misure di prevenzione per l'utilizzo del territorio al fine di non generare in futuro nuove situazioni di rischio.

6.8. LA PERICOLOSITA' ED IL RISCHIO DA FRANA

6.8.1 Perimetrazione delle aree a rischio da frana

La carta della pericolosità connessa ai fenomeni franosi costituisce una valutazione della pericolosità da frana finalizzata alla zonazione del territorio in aree suscettibili di innesco.

Per i fenomeni franosi in genere, quindi, i modelli predittivi si limitano a definire dove un determinato fenomeno è possibile che accada e con quale probabilità, senza determinare in modo esplicito i tempi di ritorno e le intensità.

6.8.2 Aree di pericolosità da frana

a. Quadro di riferimento tecnico



PIANO DI LOTTIZZAZIONE CONVENZIONATA NELLA SOTTOZONA C3 DEL P.U.C. COMPARTO B



Studio di compatibilità geologica e geotecnica – ex-Art. 8 c 2 NTA PAI

La pericolosità da frana Hg individua la possibilità dell'instaurarsi di un fenomeno franoso in un determinato punto del territorio. Contrariamente alla pericolosità idraulica non è possibile una quantificazione della frequenza di accadimento e per tale motivo nella redazione del PAI si è assunta una suddivisione della pericolosità in quattro classi in base allo stato di attività ed al grado di importanza del fenomeno franoso, riportata nella Tabella 1 (tratta dalle linee guida del PAI). In questa ottica le aree di pericolosità da frana rappresentano le aree soggette a possibili fenomeni franosi.

Come per le aree di pericolosità idraulica, la perimetrazione delle aree di pericolosità da frana sarà effettuata attraverso le procedure e nei casi definiti all'inizio del capitolo (paragrafo "Procedura di adequamento").

In Figura 2.35 si mostra lo schema del processo che a partire dagli strati informativi di base porta alla definizione delle aree di pericolosità. In Figura 2.36 si riporta il modello logico per la determinazione dell'instabilità dei versanti tramite sovrapposizione di alcuni tematismi, previa attribuzione dei pesi legati ai fattori che predispongono ai fenomeni franosi. A tal fine si fa notare che gran parte delle informazioni necessarie per tali studi possono essere derivate dallo strato informativo di base definito nella prima parte delle presenti Linee Guida, a meno delle ovvie analisi sui parametri di interesse da parte del tecnico.

b. Schema di legenda

Le aree di pericolosità saranno individuate sulla base della cartografia CTR o del GeoDB in scala 1:10.000, oppure sulla base della cartografia comunale qualora più dettagliata.

6.8.3. Aree di versante a significativa pericolosità da frana non perimetrale dal PAI

a. Quadro di riferimento tecnico

Ai sensi dell'Art. 26 N.T.A. PAI è demandato alla pianificazione comunale l'individuazione delle aree di versante a significativa pericolosità geomorfologica non precedentemente perimetrate dal PAI. In particolare devono essere individuate e perimetrate le aree a franosità diffusa, le aree costiere a falesia e le aree interessate da fenomeni di subsidenza. Non essendo state condotte precedentemente indagini durante la redazione del PAI, la loro definizione sarà condotta attraverso nuove analisi e indagini sui fattori predisponenti i fenomeni di instabilità.

b. Schema di legenda

Le aree di significativa pericolosità saranno individuate sulla base della cartografia alla scala 1:2000, secondo quanto prescritto dall'Art.8 comma 5, N.T.A. PAI.

La codifica della legenda sarà la stessa descritta per le aree a pericolosità da frana.

6.8.4. Fasce di tutela nelle aree a pericolosità da frana

a. Quadro di riferimento tecnico

Ai sensi dell'Art. 8, comma 12, N.T.A. PAI nelle aree perimetrate dal PAI come aree di pericolosità da frana di qualunque classe gli strumenti di pianificazione possono istituire fasce speciali di tutela regolandone l'uso in funzione delle rispettive competenze. In particolare i Comuni potranno definire una Buffer-zone che individuerà la fascia di ulteriore interessamento



PIANO DI LOTTIZZAZIONE CONVENZIONATA NELLA SOTTOZONA C3 DEL P.U.C. COMPARTO B



Studio di compatibilità geologica e geotecnica - ex-Art. 8 c 2 NTA PAI

del processo franoso per effetto di rotolamenti, colate di fango, caduta massi, etc.

b. Schema di legenda

Le fasce di tutela saranno individuate sulla base della cartografia CTR o del GeoDB in scala 1:10'000, oppure sulla base della cartografia comunale qualora più dettagliata.

La codifica adottata è quella del paragrafo: "Carta della sovrapposizione delle previsioni urbanistiche con le perimetrazioni del PAI".

6.8.5 Aree di rischio da frana

a. Quadro di riferimento tecnico

Si considera come Rischio da frana l'insieme dei processi collegati al sistema geologico, che abbiano un'origine naturale, indotta o mista, in grado di generare un danno fisico o economico su beni pubblici o privati o perdita di vite umane. Il rischio geologico totale Rg in un punto del territorio viene definito come il prodotto dei tre fattori:

$$Rg = Hg * E * V$$

dove Hg è la pericolosità geologica ovvero la probabilità di accadimento del fenomeno suddivisa nelle quattro classi di cui sopra (Tabella 1), mentre E e V rappresentano gli elementi a rischio e la vulnerabilità così come definiti ai paragrafi dedicati.

In particolare la perimetrazione delle aree a rischio sarà effettuata attraverso le procedure e nei casi definiti all'inizio del capitolo (paragrafo "Procedura di adeguamento").

Il modello logico per la mappatura delle aree di rischio da frana (Rg), a partire dalla pericolosità Hg, degli elementi a rischio E ed eventualmente della vulnerabilità V, è lo stesso utilizzato per il rischio idraulico.

Per quanto attiene le procedure utilizzate ci si riferisce a quanto riportato nelle Linee Guida per la redazione del PAI.

b. Schema di legenda

Le aree a rischio sono individuate sulla base della cartografia CTR o del GeoDB in scala 1:10'000, oppure sulla base della cartografia comunale qualora più dettagliata.

6.9. TEMATISMI TERRITORIALI DI RIFERIMENTO PER LE ANALISI E CARTOGRAFIA FINALE DI ADEGUAMENTO

La procedura utilizzata per la definizione della instabilità potenziale dei versanti ha utilizzato una serie di tematismi derivanti dalle cartografie di analisi di base, fattorizzate attraverso valutazioni di varia natura e variato in funzione della disponibilità dei temi richiesti e dell'approfondimento necessario.

I tematismi utilizzati sono:

- 1. Acclività;
- 2. Geo-litologia;



PIANO DI LOTTIZZAZIONE CONVENZIONATA NELLA SOTTOZONA C3 DEL P.U.C. COMPARTO B



Studio di compatibilità geologica e geotecnica - ex-Art. 8 c 2 NTA PAI

3. Uso del suolo;

Con l'ausilio di tali informazioni rese efficaci attraverso una fattorizzazione è stata prodotta una Carta della Instabilità Potenziale dei Versanti, che è stata confrontata con le informazioni reperite negli inventari, studi e ricerche sulla franosità e i dissesti consultati.

Sono quindi stati derivati i seguenti tematismi:

Pericolosità da frana;

Ai fini della valutazione della compatibilità dell'utilizzo del territorio comunale di Monserrato è stata prodotta quindi una cartografia inviluppo o somma, della pericolosità riscontrata nello studio con quella mappata dal PAI e costituente il sistema di misure di salvaguardia in attesa di una successiva riperimetrazione da operarsi in fase successiva.

6.10. CARTA DELLA INSTABILITA' POTENZIALE DEI VERSANTI

Rispondendo al Decreto Legge 11 giugno 1998 n. 180, convertito il 3 agosto 1998 nella Legge n.267, la Regione Sardegna ha incaricato un Gruppo di Coordinamento e alcuni gruppi di singoli professionisti, perché svolgessero quanto indicato nell'Atto di Indirizzo e Coordinamento di cui al DPCM del 29 settembre 1998: ossia elaborassero il Piano di Assetto Idrogeologico [PAI., 2003] per il territorio regionale.

Tra i risultati prodotti è stata definita in maniera distinta la perimetrazione delle aree a rischio di piena e/o frana e di quelle potenzialmente pericolose. L'elaborato del PAI è nato in seguito al Decreto Legge 11 giugno 1998 n. 180, convertito il 3 agosto 1998 nella Legge n.267, per il quale la Regione Sardegna ha incaricato un Gruppo di Coordinamento e alcuni gruppi di singoli professionisti, perché svolgessero quanto indicato nell'Atto di Indirizzo e Coordinamento di cui al DPCM del 29 settembre 1998 ed elaborassero quindi il Piano di Assetto Idrogeologico [PAI., 2003].

Il PAI, pur essendo uno studio a scala regionale, è l'unico documento tecnico ufficiale recepito dalla Regione Sardegna, ma che data la scala di redazione produce la necessità di avere a disposizione una valutazione a scala di maggior dettaglio.

Ulteriori problematiche sono introdotte dalle modalità di uso del territorio, ad esempio l'uso di tecniche agronomiche inadeguate, le urbanizzazioni, l'abbandono o l'inadeguata realizzazione di sistemazioni idraulico-forestali, gli incendi boschivi, etc..

Tali fattori, in situazioni già predisposte al rischio da fattori geomorfologici, tendono ad accentuare la suscettibilità ai fenomeni di dissesto.

Al fine di operare una analitica ed estensiva valutazione della potenziale instabilità dei versanti de rilievi costituenti il territorio investigato, si è ritenuto opportuno, adottare una procedura sistematica di valutazione che contemperasse quelle messe a punto o testate in varie pubblicazioni.

In particolare è stata considerata come esempio di riferimento la procedura testata da Ghiglieri et alii nel fascicolo 3-4 2006 della rivista Geologia tecnica & ambientale, trimestrale dell'Ordine Nazionale dei Geologi.

Il lavoro in oggetto ha testato la procedura nel settore dei bacini idrografici del Rio Badde



PIANO DI LOTTIZZAZIONE CONVENZIONATA NELLA SOTTOZONA C3 DEL P.U.C. COMPARTO B



Studio di compatibilità geologica e geotecnica – ex-Art. 8 c 2 NTA PAI

Manna e del Rio di Banari, compresi nel sub-bacino n. 3 Coghinas-Mannu-Temo secondo la suddivisione in 7 sub-bacini prevista dal PAI, sono state periodicamente interessate da fenomeni di instabilità, che hanno generato danni al territorio ed alle infrastrutture.

6.11. VALUTAZIONE DELLA PROPENSIONE AL DISSESTO IDROGEOLOGICO DI FRANA

L'elaborazione della carta della instabilità potenziale da frana è costruita sulla base delle Linee Guida Pai, considerando altresì le procedure proposte, dalla "Guida alla realizzazione di una carta dello stabilità dei versanti" pubblicata dalla Regione Emilia Romagna [RER, 1977], e da quanto indicato dal Servizio Geologico d'Italia nelle "Linee guida per lo realizzazione della cartografia dello pericolosità geologica connesso ai fenomeni d'instabilità dei versanti" [CARG, 1992]. La metodica utilizzata in nel lavoro prescelto è altresì verificata per confronto attraverso altre numerose ricerche [ARDAU et 01., 2002, 2003; BARBIERI & GHIGLIERI, 2003; GHIGLIERI et 01., 2004] per essere resa maggiormente coerente con le peculiarità ambientali e territoriali della Sardegna.

La metodica considera i principali fattori, ad influenza diretta e indiretta, che influenzano l'instabilità dei versanti. I fattori sono stati classificati in due categorie: invarianti, ovvero fissi nel tempo (litologia, morfologia e pedologia) e varianti, ovvero a rapido mutamento e modificabili dall'uomo (uso reale del suolo).

Questi sono resi omogenei e classificati attraverso l'attribuzione di "pesi" numerici, in relazione alla maggiore o minore propensione a favorire o ad ostacolare il dissesto. Nel primo caso il peso assegnato corrisponde ad un valore più basso; nel secondo caso si attribuisce un valore più alto. Le Linee Guida Pai sono insufficienti nella fattorizzazione della estesa serie di unità geolitologiche e dell'uso del suolo o della vegetazione.

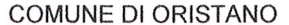
L'attribuzione dei pesi, per le litologie ed usi non considerati dalle Linee Guida PAI, è stata una delle operazioni più delicate per la applicazione della metodica. Infatti, il modello di valutazione è corretto se i parametri considerati vengono sperimentalmente misurati e se vengono riconosciute le loro possibili interazioni.

Pur se valutata opportuna una maggiore discriminazione nelle classi di acclività, in quando maggior generatore di instabilità a pari caratteristiche geologiche e di uso del suolo, sono state utilizzate le classi di acclività suggerite dalle Linee Guida PAI.

I pesi attribuiti ad ogni fattore sono quindi sommati algebricamente per successivi incroci o sovrapposizioni (overlay) dei diversi strati informativi (pendenza, esposizione, etc.) al fine di ottenere gli elaborati finali restituiti attraverso la "Carta della Instabilità Potenziale dei Versanti" e la successiva "Carta della Pericolosità di Frana'.

6.12. VALUTAZIONE DELLA PROPENSIONE POTENZIALE E REALE AL DISSESTO IDROGEOLOGICO

Lo studio e l'analisi dei fattori morfologia, litologia e pedologia, rilevati, col dettaglio della scala







Studio di compatibilità geologica e geotecnica – ex-Art. 8 c 2 NTA PAI

1: 10.000, ha portato alla compilazione di quattro tematismi primari. I dati sono stati mantenuti in formato vettoriale e sovrapposizione mediante la procedura di overlay mapping (in ambiente ArcGIS), si è effettuata la sovrapposizione degli elaborati.

La somma aritmetica dei diversi pesi consente di ottenere una carta intermedia di zonazione, costituita da un insieme di poligoni corrispondenti a delle areole a pesi differenziati ch definiamo Carta della Instabilità Potenziale dei versanti rappresentante i diversi gradi di propensione.

La interpretazione e la riperimetrazione a seguito del controllo diretto della carta forniscono la nuova Carta della Pericolosità di Frana.

I risultati ottenuti confermano la buona attendibilità della carta finale prodotta, specie se confrontati con le informazioni relative alle aree storicamente interessate da fenomeni di dissesto.

È interessante infine sottolineare come la metodologia utilizzata si differenzi, rispetto ad altre proposte della letteratura scientifica, per il contributo apportato al modello dall'osservazione diretta dell'area in studio.

In particolare per quanto concerne l'"utilizzazione del suolo": l'analisi congiunta delle classi di uso e copertura del suolo e delle "tecniche colturali" consente di evidenziare a livello di dettaglio la vulnerabilità dei sistemi agroforestali, come riscontrato per gli ambienti boscati e seminaturali.

In questi contesti, l'indagine in loco ha consentito di verificare la funzionalità dei sistemi forestali (o pre-forestali) e quindi di pesare diversamente categorie appartenenti alla medesima classe di copertura del suolo.

6.13. ATTRIBUZIONE DEI PESI

La fase più delicate, nell'elaborazione delle carte di sintesi, costituita dall'attribuzione dei pesi ai fattori considerati in funzione dell'influenza che i fattori stessi si pensa esercitino sull'accadimento dei fenomeni di dissesto, è stata assolta con il riutilizzo delle tabelle pubblicate in tale studio, integrate in funzione delle litologie, dell'uso del suolo e dei suoli non tabellati nelle Linee Guida.

I pesi dell'acclività sono stati conservati identicamente alle Linee Guida.

TIPO	SIGLA	UNITA	PESO_GEO_F
AA0_003	ha	Depositi antropici. Manufatti antropici. OLOCENE	1
AA2 003	bb	Depositi alluvionali. Sabbie con subordinati limi e argille. OLOCENE	4
AA3_001	e5	Depositi palustri. Limi ed argille limose talvolta ciottolose, fanghi torbosi con frammenti di molluschi. OLOCENE	4
AA4 001	d	Depositi eolici. Sabbie di duna ben classate. OLOCENE	2
AA5_001	g2	Depositi di spiaggia. Sabbie e ghiaie, talvolta con molluschi, etc. OLOCENE	3
AA5_002	g	Depositi di spiaggia antichi. Sabbie, arenarie, calciruditi, ghiaie. ?PLEISTOCENE SUP ?OLOCENE	3

Tabella Attribuzioni pesi Litologia



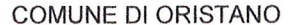
COMUNE DI ORISTANO PIANO DI LOTTIZZAZIONE CONVENZIONATA NELLA SOTTOZONA C3 DEL P.U.C. COMPARTO B



Studio di compatibilità geologica e geotecnica – ex-Art. 8 c 2 NTA PAI

LAYER	TIPO USO	PESO_USO
1111	Tessuto residenziale compatto e denso	0
1112	Tessuto residenziale rado	0
1121	Tessuto residenziale rado e nucleiforme	0
1122	Fabbricati rurali	0
1211		0
1212	Insediamenti di grandi impianti di servizi	0
1221	Reti stradali e spazi accessori	0
1222	Reti ferroviarie e spazi annessi	0
1223	Grandi impianti di concentramento e smista	0
1224	Impianti a servizio delle reti di distribuzione	0
123	Aree portuali Aree aeroportuali ed eliporti	0
131	Aree estrattive	0
1321	Discariche	0
1322	Depositi di rottami a cielo aperto, cimiteri d	0
133	Cantieri	0
141	Aree verdi urbane	0
1421	Aree ricreative e sportive	0
1422	Aree archeologiche	0
143	Cimiteri	0
2111	Seminativi in aree non irrigue	-3
2112	Prati artificiali	-3
2121	Seminativi semplici e colture orticole a pien	-3
2122	Risale	-3
2123	Vival	-3
2124	Colture in serra	-3
221	Vigneti	-3
222	Frutteti e frutti minori	-2
223	Oliveti	-2
231	Prati stabili	-3
2411	Colture temporanee associate all'olivo	-3
2412	Colture temporanee associate al vigneto	-3
2413	Colture termporanee associate ad altre colt	-3
242	Sistemi colturali e particellari complessi	-3
243	Aree prevalentemente occupate da colture a	-3
244	Aree agroforestali	2
3111	Boschi di latifoglie	
31121	Pioppeti, saliceti, eucalitteti ecc. Anche in fo	1
31122 31123	Sugherete Castagneti da frutto	1
31124	Altro	1
3121	Bosco di conifere	1
3122	Arboricoltura con essenze forestali di conife	
313	Boschi misti di conifere e latifoglie	1
321	Aree a pascolo naturale	-3
3221	Formazioni vegetali basse e chiuse	-4
3222	Formazioni di ripa non arboree	-4
3231	Macchia mediterranea	1
3232	Gariga	-4
3241	Aree a ricolonizzazione naturale	1
3242	Aree a ricolonizzazione artificiale	1
3311	Spiagge di ampiezza superiore a 25m	-4
3312	Aree dunali non coperte da vegetazione di a	-4
3313	Aree dunali coperte da vegetazione di ampi	
3314	Distese di sabbia	-4
3315	Letti di torrenti di ampiezza superiore a 25m	
332	Pareti rocciose e falesie	-4
333	Aree con vegetazione rada > 5% e< 40%	-4
411	Paludi interne	0
412	Torbiere	0
421	Paludi salmastre	0
422	Saline	0
423	Zone intertidali	0
5111	Fiumi, torrenti e fossi	0
5112	Canali e idrovie	0
5121	Bacini naturali	0
5122	Bacini artificiali	
5211	Lagune, laghi e stagni costieri a produzione	
5212	Acquacolture in lagune, laghi e stagni costi	0
522 5231	Estuari e delta	0
	Aree marine a produzione Ittica naturale	0

Tabella Attribuzioni pesi Uso del suolo







Studio di compatibilità geologica e geotecnica - ex-Art. 8 c 2 NTA PAI

7. INQUADRAMENTO CLIMATICO

7.1. Inquadramento climatico

L'area in esame ricade nella Sardegna centro-occidentale e mostra caratteristiche topografiche, pluviometriche e termometriche riferibili alla macro-area costiera del golfo di Oristano, con caratteri orografici tipici della pianura costiera, con altitudine compresa tra 6,00 ed i 2,00 m slm ed il livello del mare.

L'area pertanto non presenta variabilità orografiche che possano determinare variazioni sul tipo di clima che caratterizza la piana costiera.

Per delineare i caratteri climatici dell'area vasta intorno all'area del pozzo sono stati analizzati i regimi dei principali parametri meteoclimatici, attraverso l'elaborazione e l'analisi e delle serie storiche dei parametri meteorologici principali rilevati nelle stazioni meteorologiche ricadenti nel territorio in esame ed in quelle ubicate nel suo intorno.

I dati utilizzati provengono dalla sezione del Genio Civile di Cagliari dell'Assessorato Regionale ai Lavori Pubblici, dagli Uffici Regionali dell'ENEL, dall'EAF, dalla Marina Militare e dall'Atlante della Sardegna (Pracchi et alii).

l diversi regimi meteoclimatici sono stati definiti elaborando ed analizzando le osservazioni giornaliere, rilevate dal 1922 al 1992 nelle stazioni meteorologiche di Cabras, Riola, Capo Frasca, Oristano (1922-2002), Santa Giusta e Santa Lucia. Di queste stazioni solo quella e di Santa Lucia (8 m slm) registra regolarmente, oltre alla pluviometria e le temperature l'umidità dell'aria e l'eliofania. Per il regime anemometrico oltre ai dati provenienti dalla stazione di Oristano (SI), sono stati considerati anche quelli di Capo Frasca (Marina Militare) e del Cirras (Enel).

codS	ENTE	nome	quota m s.l.m.	Coord. G.B. EST m	Coord. G.B. NORD m
98	AER	Capo Frasca (Aer)	92	1453250	4402300
99	SI	Arborea	7	1464120	4402760
100	SI	Marrubiu (C.ra)	32	1471000	4402420
101	SI	Km.82	32	1469700	4405650
102	SI	S.Anna-Oristano	12	1468140	4409400
103	SI	S.Giusta	10	1466560	4413930
104	SI	Sassu Idrovora	5	1463750	4408500
105	SI	Oristano FF.SS.	12	1466090	4417020
165	SI	Ex Tanca Regia	332	1480100	4443300
166	SI	Abbasanta	317	1484600	4441710
167	SI	Paulilatino	280	1479880	4437020
168	SI	Fordongianus	32	1483900	4427300
169	SI	Mogorella	299	1487930	4412870
170	SI	Santa Vittoria	22	1477600	4424100
171	SI	Simaxis	17	1473530	4420110
172	SI	Riola	9	1460780	4427470
173	SI	Cabras	9	1460000	4420100
174	SI	Santulussurgiu	557	1470430	4443630
175	SI	Seneghe	300	1467010	4436810
176	SI	Bauladu	29	1472060	4430010
177	SI	Cadreas (C.ra)	74	1457350	4434450
408	SI	Putzu Idu	4	1449500	4430850
3	SAR	ARBOREA	2	1466889	4402818
4	SAR	MILIS	125		4435241
6	SAR	GHILARZA	293	1485233	4440190
11	SAR	ZEDDIANI (UCEA)	14	1467534	4425939
14	SAR	SCANO MONTIFERRO	405	1466211	4453417

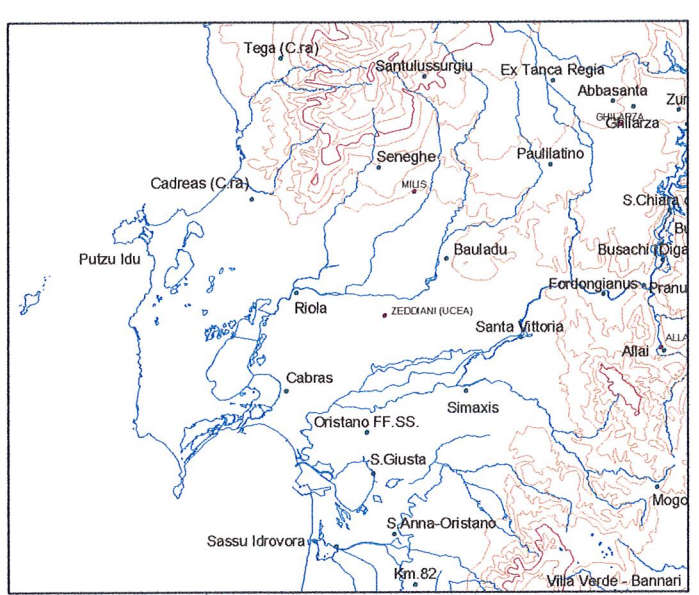


Fig 7.1 Mappa – La rete delle stazioni di misura utilizzate

Tab 7.1 Stazioni presenti nell'area circostante il settore di Oristano







Studio di compatibilità geologica e geotecnica - ex-Art. 8 c 2 NTA PAI

7.1.1.Termometria

L'analisi dei dati rilevati nelle stazioni termometriche disponibili indicano che nel settore interessato dal progetto la temperatura media annua è di 16,3°C. Le escursioni termiche annue variano tra i 14,2°C di Santa Giusta ed i 13,3°C di Capo Frasca, mentre le escursioni termiche giornaliere sono comprese tra i 6,1°C ed i 12°C.

codS	ENTE	nome	quota m s.i.m.	Temp media diuma 1922-02	Temp minima diurna 1922-02	Temp massima diurna 1922 02	
98	AER	Capo Frasca (Aer)	92	16.6	16.0	17.4	
99	SI	Arborea	7	14.7	14.1	15.7	
100	SI	Marrubiu (C.ra)	32	18.1	18.1	18.1	
101	SI	Km.82	32	0.0	0.0	0.0	
102	SI	S.Anna-Oristano	12	17.2	15.9	18.1	
103	SI	S.Giusta	10	16.7	14.8	18.2	
104	SI	Sassu Idrovora	5	16.8	15.9	19.8	
105	SI	Oristano FF.SS.	12	16.6	13.1	17.7	
165	SI	Ex Tanca Regia	332	0.0	0.0	0.0	
166	SI	Abbasanta	317	14.5	9.2	18.1	
167	SI	Paulilatino	280	16.2	15.5	16.9	
168	SI	Fordongianus	32	16.8	15.6	18.5	
169	SI	Mogorella	299	15.3	14.9	15.6	
170	SI	Santa Vittoria	22	16.5	16.5	16.5	
171	SI	Simaxis	17	16.8	16.5	17.3	
172	SI	Riola	9	16.7	16.2	17.8	
173	SI	Cabras	9	0.0	0.0	0.0	
174	SI	Santulussurgiu	557	14.3	10.0	19.4	
175	SI	Seneghe	300	0.0	0.0	0.0	
176	SI	Bauladu	29	18.2	16.7	20.4	
177	SI	Cadreas (C.ra)	74	0.0	0.0	0.0	
408	SI	Putzu Idu	4	0.0	0.0	0.0	

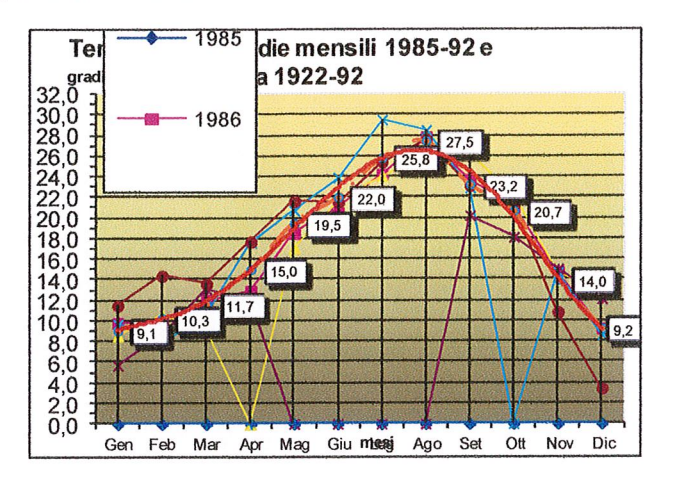


Fig. 7.1.2.1 Grafico andamento della temperatura media diurna nell'arco dell'anno per la stazione di Oristano

Tab. 7.1.2.1 Temperature tipiche delle stazioni circostanti l'area di Oristano

Il mese più freddo è generalmente gennaio con temperatura media di 9,6°C, anche se temperature assolute più fredde si possono registrare anche nei mesi di dicembre e febbraio. Solo raramente si riscontrano temperature sotto zero gradi.

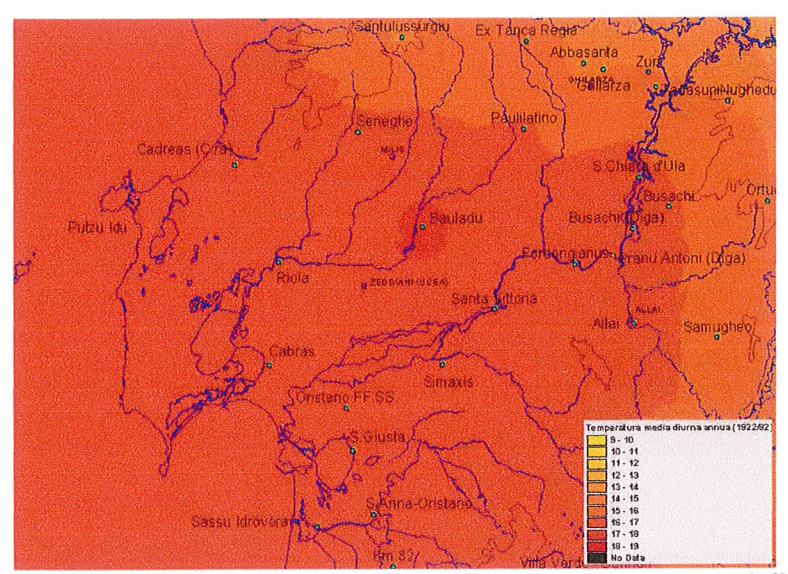


Fig 7.1.2.3 Temperatura media diurna su base annua dell'area oristanese

I mesi più caldi sono luglio e agosto, con valori medi di temperatura massima intorno ai 30°C. In questi mesi le temperature massime assolute possono raggiungere i 37-38°C e superare anche i 40°C. Anche nei mesi di settembre e giugno si possono registrare temperature abbastanza alte con valori massimi generalmente intorno ai 35°C e meno frequentemente con valori massimi





PIANO DI LOTTIZZAZIONE CONVENZIONATA NELLA SOTTOZONA C3 DEL P.U.C. COMPARTO B

Studio di compatibilità geologica e geotecnica – ex-Art. 8 c 2 NTA PAI

intorno ai 36-37°C. L'autunno è generalmente più caldo della primavera, per l'influsso del mare così come i minimi ed i massimi termici sono in parte attenuati per l'influenza termoregolatrice delle masse d'aria di provenienza marittima.

7.1.2 Eliofania

Il soleggiamento giornaliero si misura in ore. Alle nostre latitudini il soleggiamento teorico è di 8-9 ore in inverno e di 14-16 ore in estate. Il soleggiamento relativo ha un valore minimo di 0,30-0,50 in inverno ed uno massimo di 0,65-0,85 in estate.

Per quanto riguarda i dati relativi alla radiazione solare incidente esistono le rilevazioni effettuate dalla rete attinometrica del Servizio Meteorologico dell'Aeronautica Militare, che hanno permesso di calcolare i valori medi mensili di radiazione solare globale (diretta + diffusa), incidente sull'unità di superficie orizzontale in Sardegna. Il valore medio annuo calcolato è di circa 165 W/mq, con un massimo di 180 W/mq nelle zone montane ed un minimo di 150-170 W/mq che si riscontra invece in corrispondenza delle zone di pianura.

Questi dati danno un'informazione generale sull'andamento della radiazione nell'Isola, che risulta una delle più alte in Italia. Nell'area non sono invece disponibili dati relativi a misure della radiazione solare pertanto risulta assai difficile descrivere in dettaglio l'andamento di questo parametro. Gli unici dati disponibili sono quelli sull'eliofania, rilevati nella stazione meteorologica sita nel Campo sperimentale di Santa Lucia (8 m slm), in agro di Zeddiani, dell'Istituto di Agronomia generale e Coltivazioni erbacee dell'Università di Sassari. I dati dell'eliofania relativi a questa stazione sono riportati nella Tab.

Mesi	G	F	М	A	M	G	L	A	S	0	N	D
n/N	0,41	0,46	0,52	0,53	0,60	0,68	0,75	0,74	0,67	0,60	0,49	0,48

Dove n/N è il rapporto tra la durata del tempo in cui il sole è effettivamente visibile al suolo (n = eliofania assoluta) e la durata astronomica della permanenza del sole sopra l'orizzonte (N).

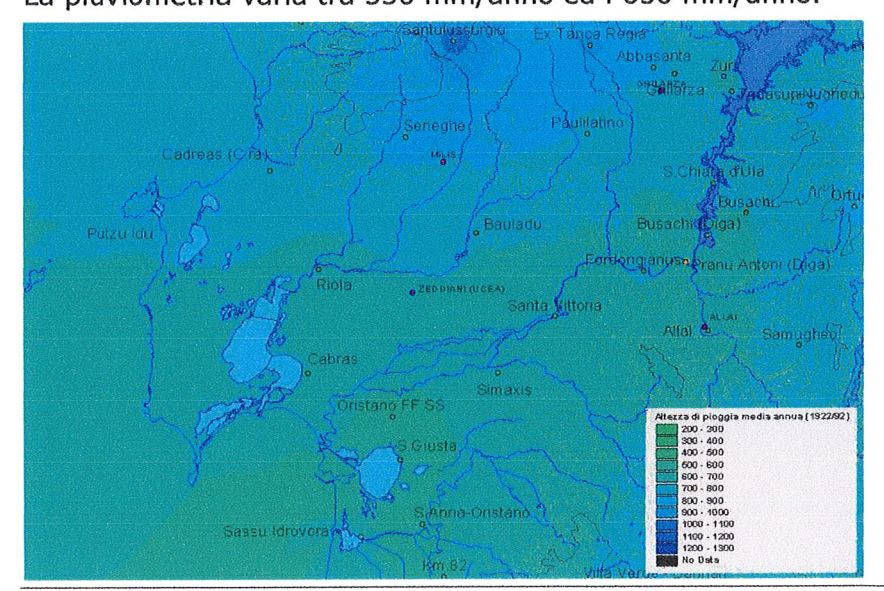
Tab. 7.1.2.1 Medie mensili dell'eliofania per la stazione di Santa Lucia (Zeddiani)

Questi dati possono essere considerati validi anche per le aree che presentano caratteri orografici e di esposizione analoghi a quelli di questa stazione, ossia aree pianeggianti poste ad altitudine non molto diversa e assenza di ostacoli che possano creare ombre.

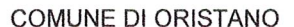
Per quanto riguarda la nuvolosità, nella stazione di Oristano si rilevano in media 133 giorni sereni, 112 nuvolosi e 120 coperti, con nuvolosità minore ai 3/10 di cielo aperto.

7.1.3 Precipitazioni

La pluviometria varia tra 550 mm/anno ed i 650 mm/anno.



Roberta Maria Sanna Geologo - Fausto A. Pani Geologo - Davide Sechi Ingegnere idraulico







Studio di compatibilità geologica e geotecnica - ex-Art. 8 c 2 NTA PAI

Fig. 7.1.3.1 Mappa – Piovosità media-annua per l'area oristanese

Per la stazione di Riola (9 m slm) sono disponibili rilevazioni per circa 49 anni ed il valore medio delle precipitazioni è di 642.0 mm/anno. La piovosità massima mai registrata sulle 24 ore è di 97 mm, mentre quella probabile a 500 anni è di 139.77 mm. In questa stazione il mese più piovoso, con valori medi di 152,2 mm/m, è dicembre, quello più asciutto è luglio con 3,1 mm/m.

Nella stazione di Cabras (9 m slm), per la quale si hanno solo 21 anni di osservazioni, il valore medio annuo delle precipitazioni è di 629,2 mm/a. Il mese più piovoso è dicembre, con valori medi di 95,6 mm/m, mentre quello pù secco è luglio con valori medi di 2,3 mm/m. In questa stazione il massimo pluviometrico in 24 ore di 79,4 mm/g si registrò nel 1933.

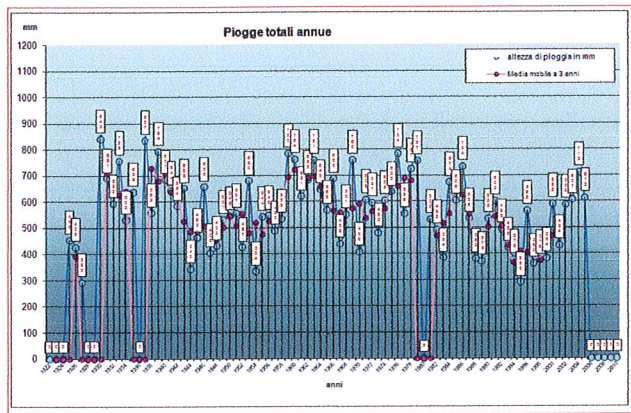


Fig 7.1.3.1 Grafico- Piovosità media-annua - S.



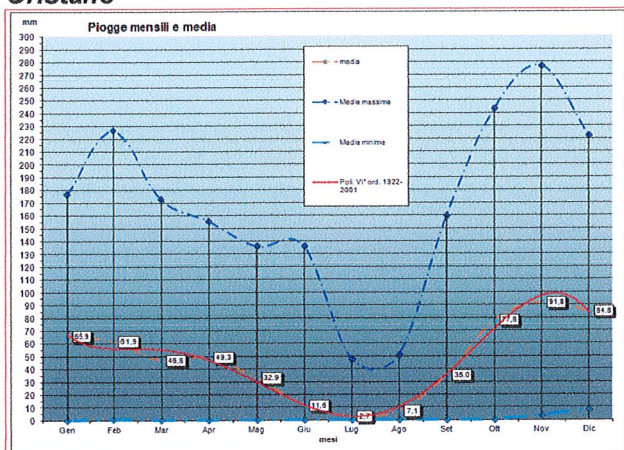


Fig. 7.1.3.2 Grafico - Piogge mensili e media -

S. Oristano

A Santa Lucia si registrano valori medi annui di precipitazioni di 574,7 mm/a, il mese più piovoso con 134,8 mm/m è dicembre, quello più asciutto, con 4,6 mm/m, è luglio.

Per la stazione di Santa Giusta (10 m slm) le precipitazioni medie annue sono di 580,9 mm/a. Il mese più piovoso è dicembre con valori medi di 95,2 mm/m, mentre quello più asciutto è luglio con 3,1 mm/m. Le massime precipitazioni in 24 ore, pari a 72,5 mm/g, si verificarono nel settembre del 1949.

Per Oristano (12 m slm) il valore delle precipitazioni medie annue è di 581,8 mm/a. Per questa stazione il mese più piovoso risulta quello di dicembre con media mensile di 93,6 mm/m, mentre quello più secco risulta luglio con 2,0 mm/m di precipitazioni. Il massimo pluviometrico nelle 24 ore, pari a 74,0 mm di pioggia in un giorno, è stato registrato nell'ottobre giugno del 1959.



COMUNE DI ORISTANO PIANO DI LOTTIZZAZIONE CONVENZIONATA NELLA SOTTOZONA C3 DEL P.U.C. COMPARTO B



Studio di compatibilità geologica e geotecnica – ex-Art. 8 c 2 NTA PAI

Nella figura è riportato il grafico dell'andamento delle precipitazioni medie annue. Nella tabella sono riportate le caratteristiche delle precipitazioni misurate per le stazioni ricadenti nell'area vasta e l'analisi della pioggia probabile nelle 24 h con differenti tempi di ritorno.

		Piovosita	à annua 19	22-2002		Piovosità massima assoluta						
Nome	Quota m slm	media	massima	minima	Anni di Oss.	Reale sulle 24 h 1922-80	24 h a 50 anni	24 h a 100 anni	24 h a 200 anni	24 h a 500 anni		
Capo Frasca	92	556,70	721,20	388,60								
Arborea	7	669,26	1022,50	419,00	40	112,00	98,08	110,63	123,31	140,14		
S. Anna	12	570,48	845,70	283,90	50	68,40	80,75	91,08	101,52	115,38		
S.Giusta	10	569,84	847,20	307,30	58	72,50	81,45	91,88	102,41	116,39		
Sassu Idrovora	5	612,14	867,60	366,20	30	129,00	93,77	105,77	117,89	133,99		
Oristano FF SS	12	563,45	841,60	291,60	46	74,00	87,96	99,21	110,58	125,68		
Simaxis	17	620,28	1156,00	325,20	57	104,00	84,67	95,50	106,45	120,92		
Riola	9	642,03	1071,00	336,00	49	97,00	97,82	110,34	122,98	139,77		
Cabras	9	629,23	968,70	406,90	20	79,40	92,37	104,19	116,13	131,98		

Tab.7.1.3.3 Caratteristiche delle precipitazioni misurate e analisi della pioggia probabile nelle 24 h con differenti tempi di ritorno

Per Oristano (12 m slm) il valore delle precipitazioni medie annue è di 581,8 mm/a. Per questa stazione il mese più piovoso risulta quello di dicembre con media mensile di 93,6 mm/m, mentre quello più secco risulta luglio con 2,0 mm/m di precipitazioni. Il massimo pluviometrico nelle 24 ore, pari a 74,0 mm di pioggia in un giorno, è stato registrato nell'ottobre giugno del 1959.

Nella figura è riportato il grafico dell'andamento delle precipitazioni medie annue. Nella tabella sono riportate le caratteristiche delle precipitazioni misurate per le stazioni ricadenti nell'area vasta e l'analisi della pioggia probabile nelle 24 h con differenti tempi di ritorno.

Nel complesso l'area esaminata mostra un regime pluviometrico con una piovosità di bassa entità, concentrata nel periodo invernale, con estati rigorosamente asciutte, solo qualche volta interessate da eventi temporaleschi anche eccezionali. La primavera è generalmente scarsa di apporti mentre l'autunno è sovente più ricco dell'inverno. Buona parte degli eventi meteorici di rilievo ha avuto luogo in periodo autunnale e precisamente tra settembre e dicembre, con episodi notevoli anche nei primi 2 mesi dell'anno.

Le precipitazioni nevose sono rare.

Per tutte le stazioni considerate le precipitazioni sono generalmente concentrate nel periodo autunno-invernale ed il maggior quantitativo di pioggia cade nel mese di dicembre. Il periodo estivo è caratterizzato per tutte le stazioni da una accentuata aridità, con anni nei quali il periodo secco si prolunga anche per otto mesi. Nel periodo invernale, nel mese di gennaio e talvolta di febbraio, si possono verificare alcune settimane di tempo secco, le cosiddette secche di gennaio.

La media annua di giorni piovosi varia tra 61 ed 70 gg.



PIANO DI LOTTIZZAZIONE CONVENZIONATA NELLA SOTTOZONA C3 DEL P.U.C. COMPARTO B



Studio di compatibilità geologica e geotecnica - ex-Art. 8 c 2 NTA PAI

Il regime pluviometrico risulta estremamente irregolare con forti variazioni tra anno ed anno. All'andamento tipico mediterraneo ogni tanto si alterna quello mediterraneo di transizione caratterizzato da due periodi piovosi, uno in inverno ed l'altro in primavera. Nell'arco di tempo coperto da osservazioni si notano alcune serie di anni particolarmente siccitosi, così come non sono infrequenti eventi pluviometrici di portata straordinaria.

Si può notare che il fattore che influenza principalmente il regime pluviometrico è costituito dall'esposizione dell'area.

7.1.4 Igrometria

L'umidità dell'aria mostra generalmente un andamento decrescente dalla costa verso l'interno, per la forte influenza giocata dalle brezze di mare che caricano di umidità l'aria e dall'inverno all'estate. I valori di umidità relativa registrati nella stazione di Oristano sono dell'ordine dell'84% in gennaio, dell'82% in aprile, del 77% in luglio e dell'80% in ottobre.

7.1.5 Barometria

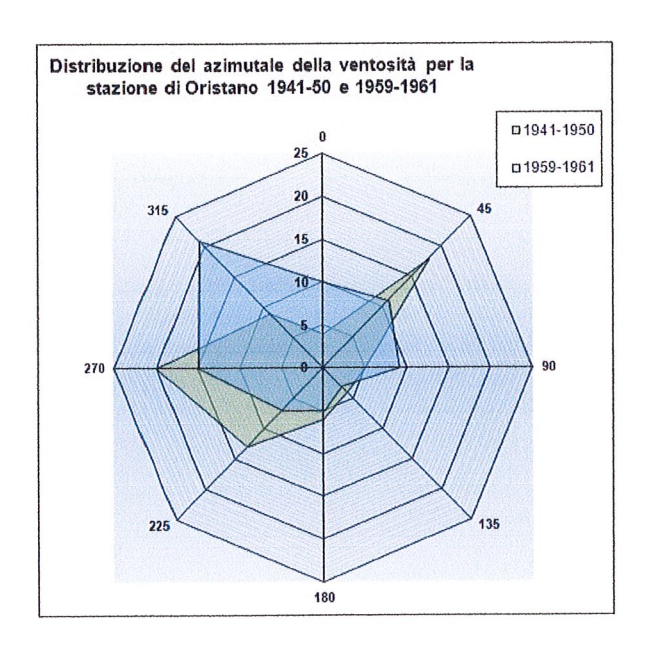
La pressione atmosferica media annua, ridotta al livello del mare, sempre relativa alla stazione di Oristano, è di 1015,2 mb, con un massimo di 1015,7 mb nel mese di luglio ed un minimo di 1014,5 mb nei mesi di gennaio e aprile. Nel Sinis la pressione atmosferica media annua mostra valori di poco superiori ai 1015,2 mb.

7.1.6 Regime Anenometrico

Per la caratterizzazione del regime anemometrico dell'area sono stati utilizzati i dati registrati nelle stazioni di Oristano, di Capo Frasca e del Cirras (ENEL).

L'area è caratterizzata da un'elevata ventosità. I venti dominanti sono quelli provenienti dal IV quadrante (maestrale e di ponente), che spesso raggiungono e superano la velocità di 25 m/s, e quelli provenienti dal II e III quadrante (scirocco e libeccio).

Nella stazione di Oristano il vento dominante è rappresentato dal ponente. Questo vento, con il 20% della frequenza, raggiunge sovente velocità intorno ai 25 m/s. Il grecale mostra una frequenza del 15% con velocità generalmente non superiori ai 25 m/s, ed il maestrale con una frequenza intorno al 13%, raggiunge e supera la velocità di 25 m/s. Il vento meno frequente è lo scirocco, che però talvolta raggiunge e supera i 25 m/s. Le giornate di calma di vento rappresentano il 20,42% del totale.





PIANO DI LOTTIZZAZIONE CONVENZIONATA NELLA SOTTOZONA C3 DEL P.U.C. COMPARTO B



Studio di compatibilità geologica e geotecnica - ex-Art. 8 c 2 NTA PAI

		STAZ	IONE	E DI C	RIST							
		Period	do dal	1941-195	0 e 1959	-1961			W	NW	Calme	
	Alt. M		N	NE	E	SE	S	SW				
Oristano	28	941-195	4	18	5	4	6	13	20	9	21	100
Onstano												

Fig. 7.1.6.1 Grafico - Distribuzione dell'intensità del vento misurata presso la stazione di Oristano

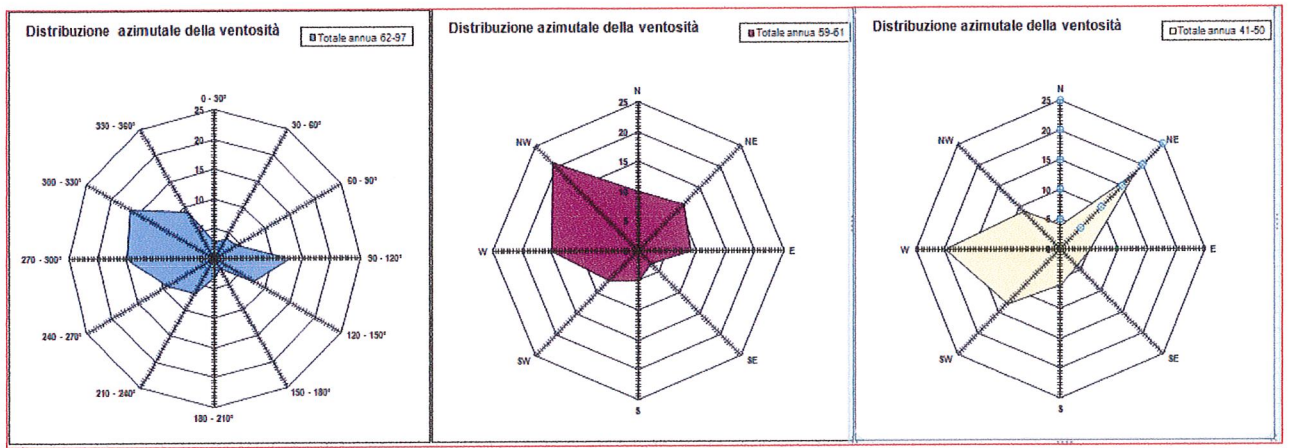


Fig. 7.1.6.2 Grafico - Distribuzione dell'intensità del vento misurata presso la stazione di Oristano

Per la stazione di Oristano sono disponibili i dati in tre diversi archi temporal (69-97, 59-61, 41-50) e curiosamente caratteristici. Per l'arco temporale più vecchio disponibile è possibile vedere una dominanza delle direzioni da W e da NE, mente negli anni successivi le misurazioni mostrano dominare il NW e secondariamente E e NE.

L'elaborazione ed analisi dei dati anemometrici suddetti mostrano una prevalenza dei venti provenienti da NO ed O. I venti provenienti da NO spesso raggiungono e superano i 28 m/s di velocità al suolo. Tutti gli altri venti sono mediamente molto meno frequenti.

L'area è caratterizzata da un'elevata ventosità, soprattutto nella parte sommitale dei rilievi, ben esposti a tutti i venti, ed in particolare ai venti del IV quadrante. I mesi più ventosi sono generalmente quelli invernali.

7.1.7 Caratteri evapotraspirativi

Le precipitazioni sono concentrate nel periodo metà autunno-inverno, mentre il periodo fine primavera-estate è caratterizzato da un'accentuata aridità. Il bilancio idrico secondo Thornthwaite produce un deficit idrico fra i mesi di maggio ed ottobre, il periodo della ricostituzione della riserva idrica inizia ad ottobre fino a metà gennaio e solo da metà gennaio ad aprile si stabilisce il periodo di eccedenza idrica.



COMUNE DI ORISTANO PIANO DI LOTTIZZAZIONE CONVENZIONATA NELLA SOTTOZONA C3 DEL P.U.C. COMPARTO B



Studio di compatibilità geologica e geotecnica – ex-Art. 8 c 2 NTA PAI

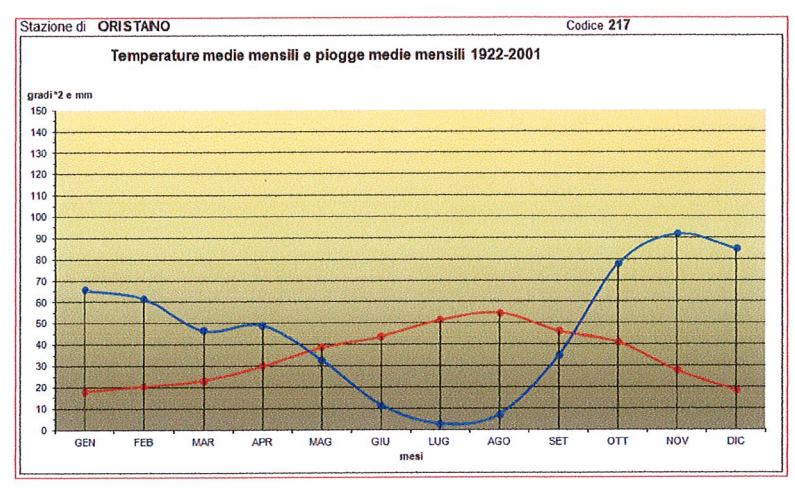


Fig. 7.1.7.1 - Grafico - Diagramma umbro termico per l'area di Oristano

	GEN	FEB	MAR	APR	MAG	GIU	LUG	AGO	SET	OTT	NOV	DIC
T =	9,1	10,3	11,7	15,0	19,5	22,0	25,8	27,5	23,2	20,7	14,0	9,2
i =	2,5	3,0	3,6	5,3	7,8	9,4	12,0	13,2	10,2	8,6	4,7	2,5
1=	82,8											
P=	65,9	61,9	46,8	49,3	32,9	11,6	2,7	7,1	35,0	77,8	91,8	84,8
a =	1,8											
b =	0,8	0,8	1,0	1,1	1,3	1,3	1,3	1,2	1,0	1,0	0,8	8,0
PE =	15,6	19,7	30,9	53,1	95,7	120,6	163,4	170,4	109,9	81,6	34,3	15,6
PE =	50,3	42,2	15,9	-3,8	-62,8	-109,0	-160,7	-163,3	-74,9	-3,8	57,5	69,2
.WL =	100,0	100,0	100,0	-3,8	-66,6	-175,5	-336,3	-499,6	-574,4	0,0	0,0	0,0
ST =	100,0	100,0	100,0	96,3	51,4	17,3	3,5	0,7	0,3	100,0	100,0	100,0
C.ST =	0,0	0,0	0,0	-3,7	-44,9	-34,1	-13,8	-2,8	-0,4	99,7	0,0	0,0
AE =	15,6	19,7	30,9	53,0	77,8	45,7	16,5	9,9	35,4	-21,8	34,3	15,6
D =	0,0	0,0	0,0	0,1	17,9	74,9	146,9	160,5	74,5	103,4	0,0	0,0
S=	50,3	42,2	15,9	0,0	0,0	0,0	0,0	0,0	0,0	-3,8	57,5	69,2
RO =	25	21	7	0	0	0	0	0	0	-2	28	34
TMD =	125,0	121,0	107,0	96,3	51,4	17,3	3,5	0,7	0,3	98,0	128,0	134,0
	18.1	20,6	23,4	30,1	39,0	44.0	51,6	55,0	46,4	41,4	27.9	18,4
	65.9	61.9	46.8	49.3	32.9	11,6	2.7	7.1	35.0	77,8	91.8	84,8

Tab. 7.1.7.2 - Parametri di evapotraspirazione potenziale per la stazione di Oristano (C.R.A.)

7.1.8 Classificazione climatica

L'analisi ed elaborazione dei regimi dei diversi parametri meteo climatici indicano che il territorio in esame ricade in un ambiente ecologico caratterizzato da un clima mediterraneo semiarido con moderato surplus idrico durante la stagione invernale ed accentuato deficit idrico nella stagione estiva, dove i minimi ed i massimi termici sono in parte attenuati per l'influenza termoregolatrice delle masse d'aria di provenienza marittima.

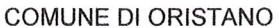
Secondo la classificazione climatica di Thornthwaite, si tratta di un clima mesotermico, B2, sub-arido, con eccedenza idrica invernale da moderata e scarsa.

8. GEOLOGIA DEL TERRITORIO DI PROGETTO

L'area di riferimento è quella del territorio del Territorio di Oristano - Brabau, ricadente nel bacino idrografico del sistema Cispiri – Mar'e Foghe adducente nello stagno di Cabras e Tirso, quindi al Golfo di Oristano.

Il territorio di Oristano - Brabau è sostanzialmente omogeneo e costituito dal grande sistema dei sedimenti quaternari compresi tra i corsi d'acqua del Tirso e lo stagno di Santa Giusta.

Il sistema è compreso nell'area del Campidano di Oristano e ne condivide tutte le caratteristiche.







Studio di compatibilità geologica e geotecnica – ex-Art. 8 c 2 NTA PAI

8.1 Cenni storici e riferimenti bibliografici

I terreni terziari e quaternari affioranti nel Campidano di Oristano, sono stati, fin dal secolo scorso, oggetto di studio da parte di numerosi Autori. Alcuni di loro si sono interessati solo del contenuto paleontologico, altri hanno dato anche interpretazioni paleogeografiche e paleoecologiche.

La Marmora (1857) considera le colline del Sinis formate da sedimenti terziari costituiti da calcari grossolani giallastri, ricoperti da lembi di lave basaltiche. Alla base del versante orientale si sviluppa la "piccola pianura" la cui superficie è modellata sul "grès quaternario". L'Autore analizza la penisola di Capo San Marco e la considera un sito importante per differenziare i sedimenti "subappenini" dal "grès quaternario" Nella falesia di NO affiorano infatti i depositi subappenini, costituiti da una marna turchina alla base, calcare a corbula al tetto, mentre nell versante orientale affiorano i diversi strati di grès quaternario, i cui depositi basali inglobano ciottoli di basalto e frammenti di marna.



Fig. 8.1.1 Immagine - Il territorio di Oristano - Brabau sull'immagine Landsat del 1999





Studio di compatibilità geologica e geotecnica - ex-Art. 8 c 2 NTA PAI



Fig.8.1.2 Mappa – Il settore di studio sulla Carta geologica del La Marmora Mappa – L'area del Sinis dalla Carta del La Marmora (1857)

Tilia Zuccari (1969) sulla base delle analisi micropaleontologiche eseguite sui testimoni del sondaggio Oristano 2, perforato presso Riola nel 1962 e che raggiunse la profondità di 1700 m, ricostruisce la sequenza stratigrafica del Campidano di Oristano.

L'autore segnala il Pliocene marino per la prima volta nella Sardegna occidentale.

Pomesano Cherchi (1971) descrive la successione stratigrafica del Pozzo Oristano 1, trivellato in località Sassu nel 1961 e che raggiunse la profondità di 1802 m.

8.2. Inquadramento geologico-strutturale

Il territorio nel quale ricade l'abitato di Oristano e è costituito da terreni sedimentari e vulcanici di età terziaria e quaternaria, e quindi relativamente giovani. Fa eccezione l'Isola di Mal di Ventre, costituita invece da terreni del basamento cristallino paleozoico.

La sua parte occidentale del territorio comunale si affacciata sulla costa del Mar di Sardegna mentre il suo settore orientale si protende verso il bacino idrografico del Tirso, occupando una piccola porzione del Campidano di Oristano, del quale presenta i caratteri tipici.

Il Campidano, una vasta superficie sub-pianeggiante o debolmente ondulata, modellata sui potenti depositi detritici plio-quaternari di varia origine, si estende per circa 100 km, con direzione NO-SE dal golfo di Cagliari al Golfo di Oristano, con una larghezza di circa 40 km, delimitata ad est e ad ovest da due pilastri tettonici, che nel Campidano di Oristano sono rappresentati dalla dorsale del Monte Grighine e dall'edificio vulcanico di Monte Arci, ad est, e dalla penisola del Sinis ad ovest. A nord la pianura è delimitata dal massiccio vulcanico del Montiferru.

La pianura oristanese costituisce l'estremità occidentale della fossa tettonica plio-quaternaria più nota come "graben campidanese", risultato del ringiovanimento, lungo i bordi paleozoici, delle direttrici tettoniche, responsabili della parte mediana e meridionale della struttura oligomiocenica, che si sviluppava dal golfo di Cagliari a quello dell'Asinara, nota come "Fossa Sarda".



PIANO DI LOTTIZZAZIONE CONVENZIONATA NELLA SOTTOZONA C3 DEL P.U.C. COMPARTO B



Studio di compatibilità geologica e geotecnica - ex-Art. 8 c 2 NTA PAI

La fossa oligo-miocenica è stata colmata da oltre 1.500 m di sedimenti marini quali marne, calcari, calcareniti spesso fossiliferi, alternati ad episodi vulcanici del ciclo calco-alcalino, che spesso affiorano lungo i bordi della fossa.

Durante il Plio-Quaternario nel Campidano sono stati ulteriormente deposti circa 800 m fra sedimenti e vulcaniti alcaline, che poggiano sulle formazioni più antiche del ciclo sedimentario e vulcanico oligo-miocenico.

La serie sedimentaria plio-quaternaria, di spessore variabile fra qualche decina e qualche centinaia di metri, è il risultato della colmata operata da parte del fiume Tirso e dei suoi affluenti nel Pleistocene ed Olocene.

Questa successione è costituita da sedimenti continentali, per lo più appartenenti alla Formazione di Samassi, sui quali poggiano potenti depositi alluvionali, lacustri e lagunari pleistocenici, seguiti da depositi marini e lagunari flandriani-versiliani con intercalate le lave basaltiche.

I depositi marini quaternari, rappresentati da depositi di ambiente freddo, e da depositi tirreniani tipici, sono presenti nelle sole fasce costiere.

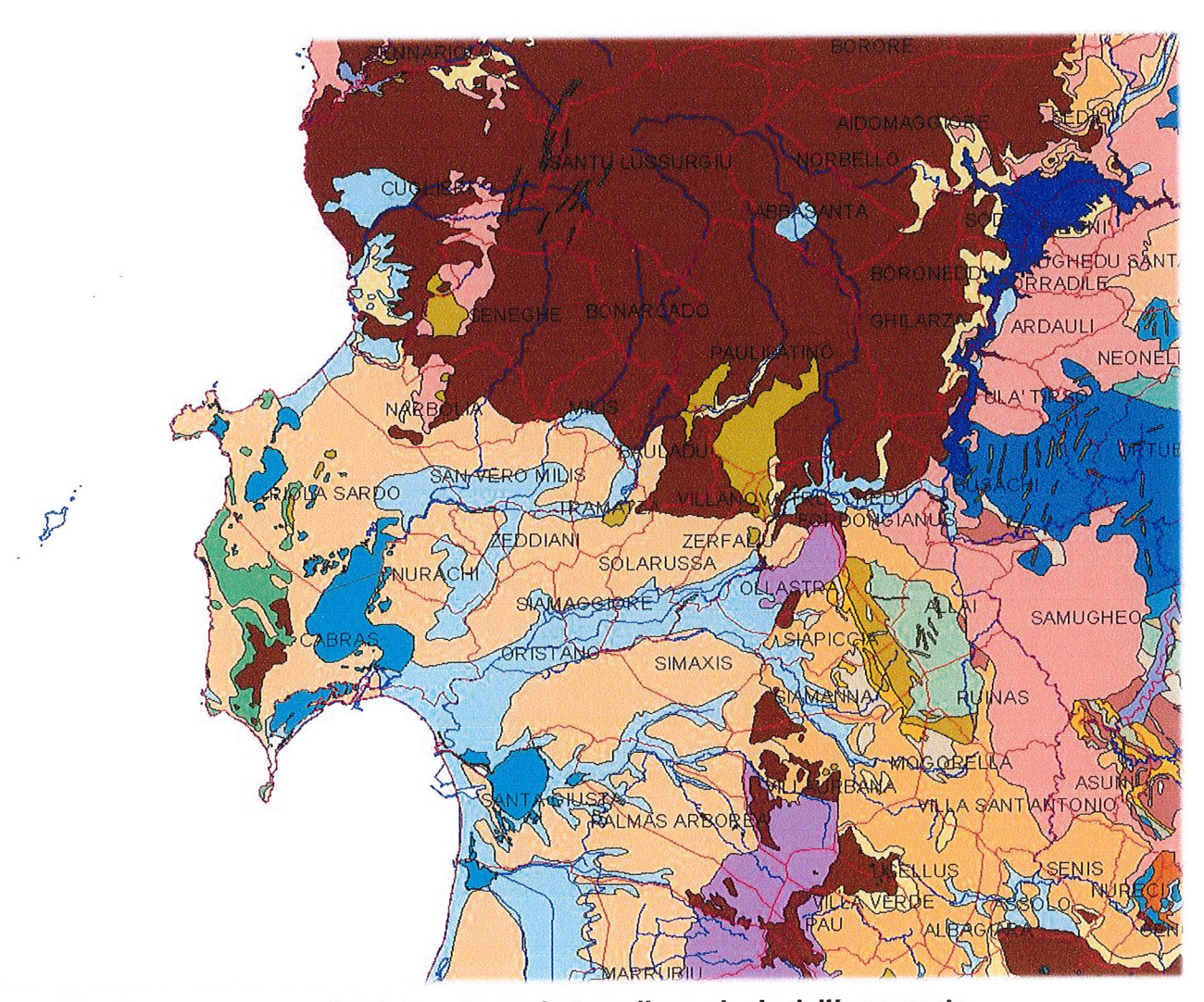


Fig 8.2.1 Mappa – L'area di Oristano inquadrata nella geologia dell'area vasta





Studio di compatibilità geologica e geotecnica – ex-Art. 8 c 2 NTA PAI

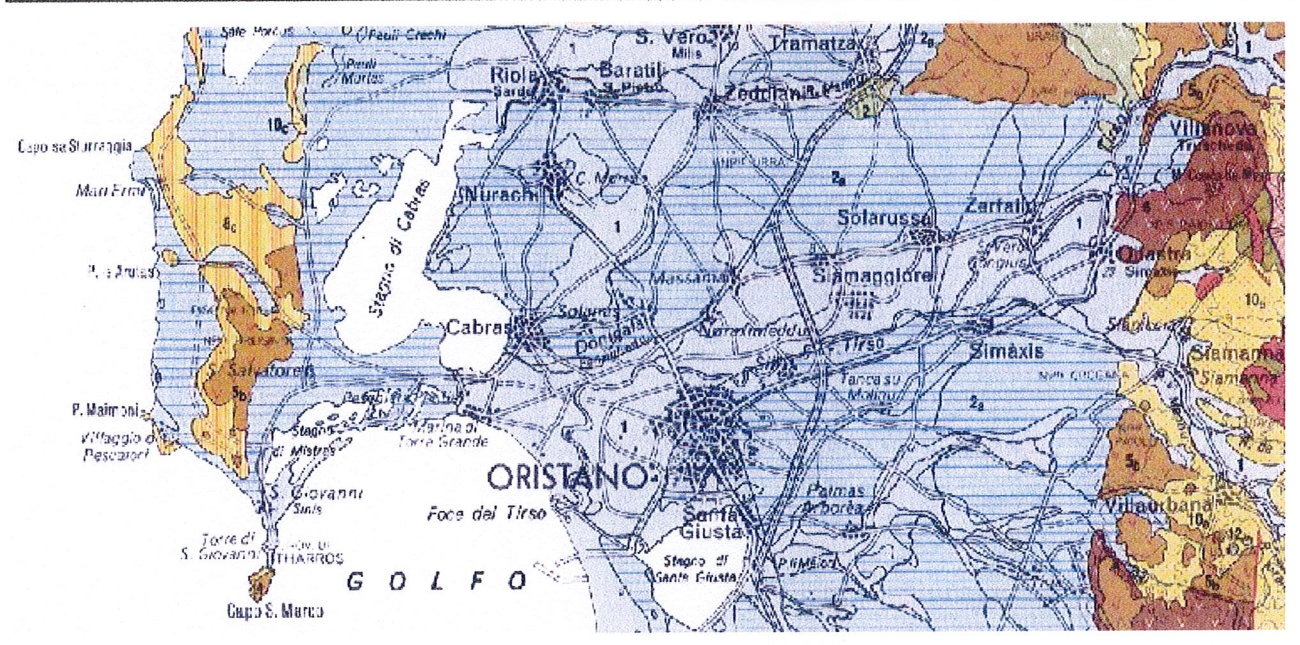


Fig. 8.2.2 Mappa – L'area di Oristano nella Carta Geologico-Strutturale (Carmignani et alii..) Il sottosuolo campidanese è quindi caratterizzato dall'alternarsi di strati più o meno potenti, talora lentiformi, di ghiaie ciottoloso-sabbiose, di argille, argille limose e sabbie argillo-limose, localmente sono presenti anche dei livelli torbosi, deposti a più riprese dal Tirso e dei suoi affluenti, che grande importanza hanno avuto nella formazione della piana e nel suo successivo modellamento.

I singoli orizzonti, spesso lentiformi, presentano spessori molto variabili da luogo a luogo, rendendo difficili le correlazioni stratigrafiche.

La sequenza stratigrafica del Campidano di Oristano, ricostruita sulla base dei risultati di due perforazioni profonde eseguite nei primi anni '60 per una ricerca di idrocarburi promossa dalla Regione Autonoma della Sardegna.

Il primo sondaggio eseguito presso Case Sassu (tra lo Stagno di S'Ena Arrubia e l'ex stagno di Sassu), raggiunse la profondità di 1802 m ed attraversò i seguenti terreni:

- Sabbie limi argillosi, con livelli di conchiglie marine e di stagno (Quaternario) da 0 a 33 m;
- Argille, limi e scarse sabbie ciottolose in facies alluvionale e palustre (Quaternario) da 33 a 94 m;
- Argille grigiastre, limi e rare sabbie in facies prevalentemente alluvionale, con resti di gasteropodi d'acqua dolce e di piante palustri (Pliocene sup.) da 94 a 304 m;
- Basalto, grigio scuro, compatto, in colate, da 304 a 310 m;
- "Formazione di Samassi", costituita da alternanze di limi marnoso-calcarei, talora sabbiosi, conglomerati a ciottoli di marne mioceniche prevalenti, argille e marne ad abbondanti foraminiferi miocenici e pliocenici rimaneggiati, in facies fluvio-torrentizia e subordinatamente lacustre (Pliocene medio-superiore) da 310 a 730 m;
- Marne arenacee a foraminiferi e resti di molluschi marini (Pliocene inf.) da 730 a 820 m;
- Complesso sabbioso-ciottoloso, argillo-marnoso e sabbioso-marnoso sterile (Messiniano?) da 820 a 870 m;
- Alternanze di marne ed arenarie fini di ambiente di mare aperto, a foraminiferi e lamellibranchi (Tortoniano-Burdigaliano) da 870 a 1430 m;



PIANO DI LOTTIZZAZIONE CONVENZIONATA NELLA SOTTOZONA C3 DEL P.U.C. COMPARTO B

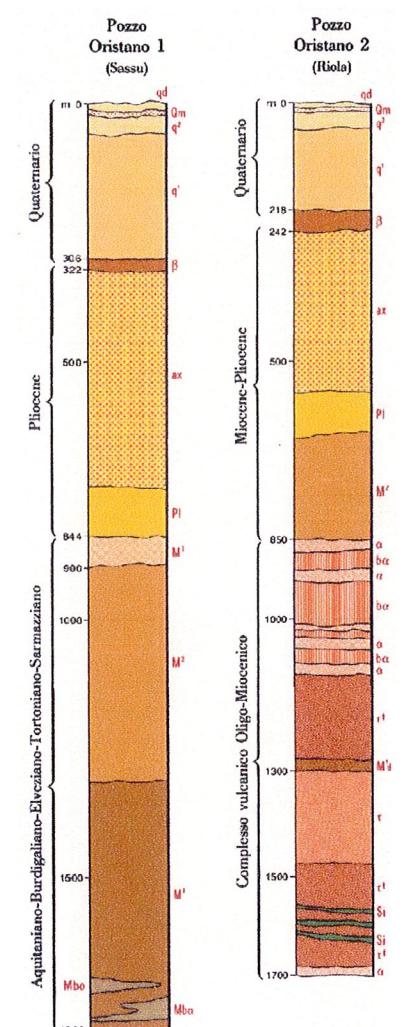


Studio di compatibilità geologica e geotecnica – ex-Art. 8 c 2 NTA PAI

 Marne prevalentemente arenacee ed arenarie con intercalazioni tufacee, piroclastiche e probabilmente laviche, andesitico-basaltico, talora in giacitura caotica (Burdigaliano-Aquitaniano) da 1430 a 1802 m.

Il secondo sondaggio eseguito nella periferia sud-occidentale dell'abitato di Riola raggiunse il 1700 m di profondità ed attraversò i seguenti terreni:

- Sabbie dunari, sabbie e limi a conchiglie marine e di stagno, ricoprenti ghiaie alluvionali prevalentemente quarzose (Quaternario) da 0 a 20 m;
- Argille e limi sabbiosi con intercalazioni ghiaiose, in facies alluvionale prevalente e palustre (Ouaternario – Pliocene Sup (?)), da 20 a 218 m;
- Basalto grigio scuro, da compatto a bolloso, in colate, da 218 a 243 m;
- "Formazione di Samassi", costituita da alternanze di marne arenaceo-calcaree, conglomerati a ciottoli di marne e arenarie mioceniche prevalenti, sabbie, argille torbose, limi, ad abbondanti foraminiferi miocenici e pliocenici rimaneggiati, in facies fluviotorrentizia e subordinatamente lacustre (Pliocene medio-superiore) da 243 a 671 m;
- Marne argillose ed arenacee, a foraminiferi e resti di lamellibranchi marini (Pliocene inf.) da 671 a 729 m;

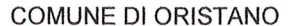


- Marne e sabbie talora grossolane, in facies marina e dubbitativamente continentali nella parte alta (Messiniano ? Miocene superiore-medio?) da 729 a 856 m;
- Ignimbriti, andesiti e tufi associati (Miocene inf.) da 856 a 1298 m;
- Tufiti con intercalati livelli marini ad ostree (Miocene inferiore) da 1298 a 1308 m;
- Andesiti, Ignimbriti e tufi associati, talora con filoni e vene di calcedonio (Miocene inferiore – Oligocene superiore) da 1308 a 1700 m.

I basalti plio-quaternari, omologhi a quelli di Capo Frasca, di Capo San Marco e del Sinis, si trovano nel sottosuolo, disposti a gradinata, perché ribassati da una serie di faglie, parallele ed ortogonali alla direzione della fossa, mostrando profondità crescenti da nord verso sud e da est verso ovest.

La colata più superficiale, attraversata da numerose perforazioni per acqua effettuate poco a monte dell'abitato di Solarussa, si trova ad una profondità di alcune decine di metri, ricoperta da depositi alluvionali, e poggia a sua volta su altri sedimenti alluvionali di età precedente. Nelle perforazioni effettuate dall'AGIP, le colate basaltiche sono ribassate alla profondità di circa 218 metri presso Riola e di 304 metri presso Sassu.

Fig. 8.2.3 Le stratigrafie dei pozzi Oristano 1 e 2 dal Foglio 216-217 (RAS - SGI 1989)





PIANO DI LOTTIZZAZIONE CONVENZIONATA NELLA SOTTOZONA C3 DEL P.U.C. COMPARTO B



Studio di compatibilità geologica e geotecnica – ex-Art. 8 c 2 NTA PAI

Nell'Oristanese la pianura è attraversata dal tratto terminale del fiume Tirso e dei suoi affluenti, tale superficie è resa meno monotona dalla presenza di superfici terrazzate, lagune, stagni e piccole paludi. Questi corpi idrici, relitti di bracci fluviali e meandri abbandonati del Tirso e dei suoi affluenti, oggi in parte bonificati, ed i terrazzi fluviali testimoniano le modificazioni evolutive dei corsi d'acqua e della linea di costa legate a periodi di sedimentazione alternati a periodi di erosione.

L'area, oggi pressoché pianeggiante, è caratterizzata dalla presenza di terrazzi fluviali dovuti alle inondazioni dei fiumi gravitanti nell'area. Nella piana, nel settore caratterizzato dal talweg del Tirso, si riconoscono diversi ordini di terrazzi dal T0 attuale e subattuale al T3 legato agli eventi alluvionali più antichi.

Oltre che per la posizione topografica differente tali terrazzi possono essere differenziati anche per il tipo di depositi e per il tipo di suolo che su di essi si è evoluto. I terrazzi sub-attuali ed attuali si trovano nell'area di golena e sono costituiti da sabbie quarzose fini e ghiaie e ciottoli eteromorfi e poligenici, su di essi si sono evoluti dei suoli, denominati terreni di "Bennaxi", che presentano elevate potenzialità per l'uso agricolo. I terrazzi più antichi, che si sviluppano a quote più alte rispetto ai primi, sono caratterizzati da livelli di ciottoli e ghiaie poligeniche ed

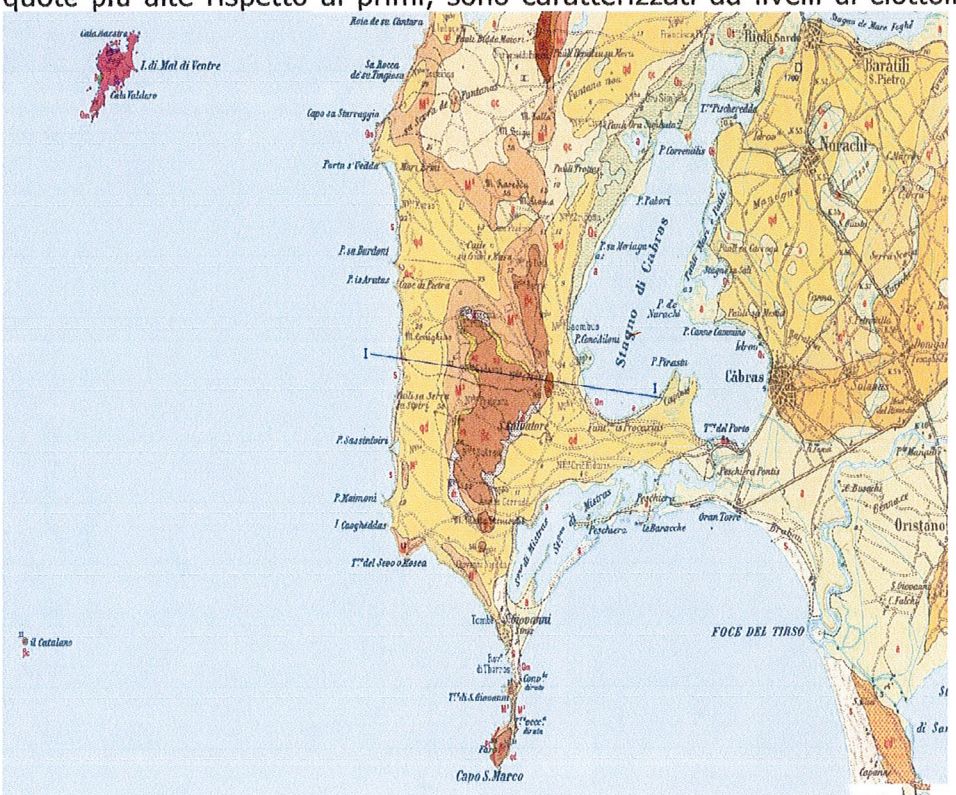


Fig. 8.2.4 Mappa - Carta Geologica d'Italia - Foglio 216-217 Oristano (RAS - SGI 1989)

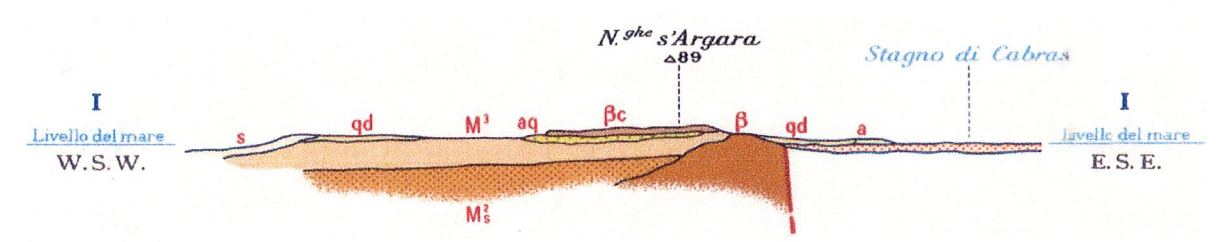


Fig. 8.2.5 Mappa – Dalla Carta Geologica d'Italia – Foglio 216-217 Oristano (RAS – SGI 1989) la sezione II passante per il Sinis



PIANO DI LOTTIZZAZIONE CONVENZIONATA NELLA SOTTOZONA C3 DEL P.U.C. COMPARTO B



Studio di compatibilità geologica e geotecnica – ex-Art. 8 c 2 NTA PAI

eterometrice, in matrice sabbio-limo-argillosa ferrettizzata, fortemente addensati . Su di essi si sono evoluti dei suoli meno fertili dei precedenti, denominati terreni di "Gregori". La piana è attraversata anche da una fitta rete di canali artificiali, realizzati dagli anni '30 fino ad oggi.

In affioramento il termine più antico dei depositi detritici quaternari è rappresentato dalle alluvioni antiche terrazzate. Questi depositi, costituiti da alternanze di livelli ciottolosi, ghiaiosi e sabbiosi, in matrice argillo-limosa, con locali lenti di argilla e di torba, caratterizzati da una elevata eterometria della frazione più grossolana, non si rinvengono in affioramento nel territorio comunale.

Seguono i depositi delle alluvioni medie, rappresentati da livelli ciottoloso-ghiaiosi, ma con una maggiore frazione sabbiosa, le così dette alluvioni rimaneggiate, formatesi evidentemente, nel Pleistocene medio e superiore, dall'erosione e successiva sedimentazione di parte dei depositi alluvionali antichi, ad opera dei fiumi presenti.

Generalmente questi depositi alluvionali sono costituiti da materiali detritici provenienti dal bacino del Tirso. Le sabbie sono di tipo quarzoso-feldspatico, ed i ciottoli e le ghiaie sono costituiti da clasti di quarziti, granitoidi e rocce cristalline del basamento paleozoico della Sardegna, estesamente diffuso in affioramento nei territori attraversati dal Tirso.

Questi depositi alluvionali, per la loro origine, presentano caratteri macroscopici molto simili a quelli delle alluvioni antiche, dalle quali derivano, pertanto i limiti fra le due formazioni non sono sempre netti e facilmente riconoscibili in campagna. L'unico aiuto per la delimitazione degli affioramenti di questa formazione è dato dalla morfologia, più uniforme, rispetto a quella dei depositi antichi.

Questi terreni, che costituiscono buona parte del territorio di Oristano - Brabaucampidanese, ne occupano il settore altimetricamente più elevato compreso tra i 4 e gli 8 m slm. Essi si sviluppano con continuità dall'abitato di Cabras fino ai limiti comunali settentrionale ed orientale. A sud sono troncati in corrispondenza dell'argine destro del Tirso, dove lasciano il posto alle alluvioni recenti, e a sud-ovest dall'alveo, oggi canalizzato e rettificato, del Rio Tanui.

Localmente inglobano piccole aree depresse, vecchie paludi bonificate, dove si rinvengono invece terreni più francamente limoso-argillosi.

Nella sequenza stratigrafica seguono i depositi alluvionali ciottoloso-sabbiosi sciolti, subattuali ed attuali, che si rinvengono lungo l'alveo del Tirso, caratterizzato in questo tratto da andamento meandriforme, lungo l'alveo del Rio Tanui, e nei terreni che si sviluppano fra questi due corsi d'acqua.

Anche nel settore della foce del Tirso si rinvengono questi depositi alluvionali recenti, che nella zona più prossima alla linea di riva sfumano nelle sabbie di spiaggia e sono ricoperti dal sabbie eoliche.

Questi depositi ciottoloso-sabbiosi, decisamente sciolti, mostrano una maggiore granulometria decisamente più minuta dei depositi alluvionali medi, con prevalenza delle frazioni argillo-limose e sabbiose. Essi derivano in parte dal rimaneggiamento dei depositi più antichi, ma è consistente anche il materiale derivante dalla deposizione del carico solido delle piene del Tirso.

Nelle zone più vicine alla costa oltre agli apporti prettamente fluviali, questi depositi hanno ricevuto consistenti apporti sabbiosi di origine eolica, provenienti dalla vicina spiaggia e dal campu dunare retrostante, quello dove negli anni '50 è stata impiantata la pineta di Torregrande.

Questi depositi, interessati nel tempo da processi pedogenetici, risultano ora ricoperti da suoli vertici anche di notevole spessore, e solo in profondità si notano meglio le facies alluvionali più tipiche.



PIANO DI LOTTIZZAZIONE CONVENZIONATA NELLA SOTTOZONA C3 DEL P.U.C. COMPARTO B



Studio di compatibilità geologica e geotecnica - ex-Art. 8 c 2 NTA PAI

Manna e del Rio di Banari, compresi nel sub-bacino n. 3 Coghinas-Mannu-Temo secondo la suddivisione in 7 sub-bacini prevista dal PAI, sono state periodicamente interessate da fenomeni di instabilità, che hanno generato danni al territorio ed alle infrastrutture.

6.11. VALUTAZIONE DELLA PROPENSIONE AL DISSESTO IDROGEOLOGICO DI FRANA

L'elaborazione della carta della instabilità potenziale da frana è costruita sulla base delle Linee Guida Pai, considerando altresì le procedure proposte, dalla "Guida alla realizzazione di una carta dello stabilità dei versanti" pubblicata dalla Regione Emilia Romagna [RER, 1977], e da quanto indicato dal Servizio Geologico d'Italia nelle "Linee guida per lo realizzazione della cartografia dello pericolosità geologica connesso ai fenomeni d'instabilità dei versanti" [CARG, 1992]. La metodica utilizzata in nel lavoro prescelto è altresì verificata per confronto attraverso altre numerose ricerche [ARDAU et 01., 2002, 2003; BARBIERI & GHIGLIERI, 2003; GHIGLIERI et 01., 2004] per essere resa maggiormente coerente con le peculiarità ambientali e territoriali della Sardegna.

La metodica considera i principali fattori, ad influenza diretta e indiretta, che influenzano l'instabilità dei versanti. I fattori sono stati classificati in due categorie: invarianti, ovvero fissi nel tempo (litologia, morfologia e pedologia) e varianti, ovvero a rapido mutamento e modificabili dall'uomo (uso reale del suolo).

Questi sono resi omogenei e classificati attraverso l'attribuzione di "pesi" numerici, in relazione alla maggiore o minore propensione a favorire o ad ostacolare il dissesto. Nel primo caso il peso assegnato corrisponde ad un valore più basso; nel secondo caso si attribuisce un valore più alto. Le Linee Guida Pai sono insufficienti nella fattorizzazione della estesa serie di unità geolitologiche e dell'uso del suolo o della vegetazione.

L'attribuzione dei pesi, per le litologie ed usi non considerati dalle Linee Guida PAI, è stata una delle operazioni più delicate per la applicazione della metodica. Infatti, il modello di valutazione è corretto se i parametri considerati vengono sperimentalmente misurati e se vengono riconosciute le loro possibili interazioni.

Pur se valutata opportuna una maggiore discriminazione nelle classi di acclività, in quando maggior generatore di instabilità a pari caratteristiche geologiche e di uso del suolo, sono state utilizzate le classi di acclività suggerite dalle Linee Guida PAI.

I pesi attribuiti ad ogni fattore sono quindi sommati algebricamente per successivi incroci o sovrapposizioni (overlay) dei diversi strati informativi (pendenza, esposizione, etc.) al fine di ottenere gli elaborati finali restituiti attraverso la "Carta della Instabilità Potenziale dei Versanti" e la successiva "Carta della Pericolosità di Frana'.

6.12. VALUTAZIONE DELLA PROPENSIONE POTENZIALE E REALE AL DISSESTO IDROGEOLOGICO

Lo studio e l'analisi dei fattori morfologia, litologia e pedologia, rilevati, col dettaglio della scala



PIANO DI LOTTIZZAZIONE CONVENZIONATA NELLA SOTTOZONA C3 DEL P.U.C. COMPARTO B



Studio di compatibilità geologica e geotecnica - ex-Art. 8 c 2 NTA PAI

Nel settore compreso tra la strada provinciale per San Giovanni di Sinis e quella per Torregrande le alluvioni recenti, lasciano il posto ai limi palustri, che si sviluppano attorno alla Peschiera di Pontis e nel ramo residuo dello Stagno di Sa Mardini.

Depositi argillo-limosi, talvolta torbosi, di ambiente palustre prendono il posto dei depositi alluvionali lungo la sponda sinistra dello stagno di Cabras, sviluppandosi anche nel settore a nord dell'abitato dove sono presenti gli stagni di Mar'e Pauli e di Pauli e Sali. Il passaggio fra queste due formazioni è spesso graduale, altre volte è digitato.

Di colore scuro, talvolta nerastro, sono costituiti da alternanze di fanghi nerastri, limi-argillosi, argille e lenti di torba, accumulatisi nel tempo nelle aree più depresse della pianura, dove si sviluppavano aree palustri.

La formazione, da poco costipata a molle, presenta una certa frazione sabbiosa, derivante dall'erosione delle zone circostanti.

Il territorio comunale, così come il resto della Sardegna, non è classificato sismico. Anche l'attività vulcanica, presente ed importante in ere precedenti, risulta oggi del tutto assente.

I terreni descritti sono riportati nella carta geologica allegata dove non sono state differenziate tutte le facies presenti, perché spesso gli affioramenti, di dimensioni assai ridotte, non sono facilmente cartografabili. Nella descrizione che segue si cercherà di descrivere tutti gli eventi riconoscibili, soprattutto per quanto riguarda i depositi marini e quelli eolici, in quanto nel territorio di Oristano - Brabauaffiora una delle sequenze più complete della Sardegna, di età Pleistocene medio-superiore ed Olocene.

I caratteri geologici del territorio di progetto sono sintetizzati nella carta geologica allegata.

8.3 La tettonica

I tempi nei quali sono avvenuti i fenomeni geologici e tettonici che hanno portato all'attuale configurazione dell'area centro-mediterranea sono misurabili in milioni di anni.

200 milioni di anni fa America, Africa ed Europa erano riunite in un unico continente (Pangea). Intorno a 180 milioni di anni fa ebbe luogo il distacco tra Africa ed America settentrionale. Questo evento, che portò all'apertura dell'Oceano Atlantico centrale, fu seguito intorno ad 80 milioni di anni fa dal distacco dell'Europa dal Nordamerica e dalla conseguente apertura dell'Atlantico settentrionale. Con il distacco dell'Europa dall'America settentrionale cominciò il moto di convergenza tra Europa ed Africa. I margini continentali di queste due placche entrarono in collisione circa 50 milioni di anni fa.

Intorno a 30 milioni di anni fa cominciò la rotazione del Blocco Sardo-Corso con il suo distacco dalla costa meridionale della Francia e l'apertura del Mediterraneo occidentale.





Studio di compatibilità geologica e geotecnica – ex-Art. 8 c 2 NTA PAI

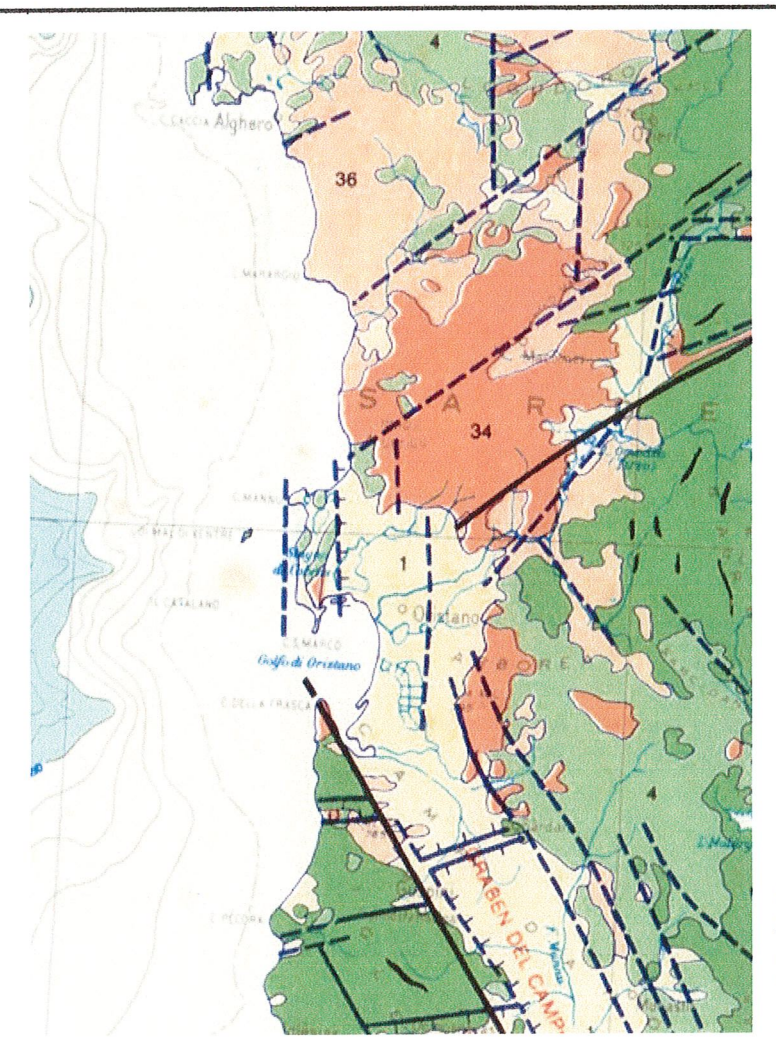


Fig. 8.3.1 Mappa della tettonica del S della Sardegna (da Carmignani et alii, Mem Descr Carta Geol. Strutt. Sardegna op. cit.)



PIANO DI LOTTIZZAZIONE CONVENZIONATA NELLA SOTTOZONA C3 DEL P.U.C. COMPARTO B



Studio di compatibilità geologica e geotecnica - ex-Art. 8 c 2 NTA PAI

Successivamente, intorno ad 8 milioni di anni fa cominciò ad aprirsi il bacino tirrenico alle spalle dell'Appennino e dell'Arco Calabro che nel corso della loro formazione avanzarono progressivamente verso l'attuale Valpadana e verso gli attuali mari Adriatico e Ionio.

Le velocità che descrivono il moto relativo tra la placca africana e la placca europea variano da qualche centimetro per anno a frazioni di centimetro per anno. Le velocità di "scarrucolamento all'indietro" dei margini di placca nelle zone di subduzione e le velocità di apertura dei bacini post-collisionali possono essere più elevate, ma di regola non superano i 5-6 centimetri per anno nell'area centro-mediterranea.

In particolare, nel settore geologico algero-provenzale, un processo di rotazione di blocchi litosferici (sfenocasma ligure) ha portato alla formazione di nuova crosta oceanica e alla rotazione di ca. 35º in senso antiorario del blocco sardo-corso che è così passato da una posizione di continuità con l'area europeo-provenzale all'attuale posizione d'isolamento all'interno dell'area mediterranea.

Tale posizione, raggiunta nel Miocene inferiore (20 milioni di anni fa circa), da allora risulta sostanzialmente stazionaria. La Collisione continentale tra il margine sud-europeo e l'Adria ha causato in Sardegna e Corsica occidentale e meridionale estese e diffuse faglie trascorrenti con tipiche strutture sia transpressive (con tipiche flower-structures, raddoppio delle coperture mesozoiche e paleogeniche e locali sovrascorrimenti del basamento cristallino paleozoico sulle coperture stesse: ad es. Monte Albo nella Sardegna NE e P.ta Carcina nella Corsica SE) sia transtensive (con sviluppo di bacini transtensivi lungo zone di releasing delle faglie principali: ad es. bacini transtensivi dell'Anglona, di Chilivani, Ottana, ecc.).

Contemporaneamente all'azione dello sfenocasma ligure venne attivato, in fase post-collisionale, un nuovo processo di subduzione a est del blocco sardo-corso, con l'associata formazione di un arco vulcanico (vulcanismo calcalcalino sardo).

Su scala geologica le modeste velocità di movimento descritte, possono produrre sostanziali modificazioni paleogeografiche, con la creazione di oceani dove prima esistevano continenti o con la costruzione di gigantesche catene di montagne dove prima si estendevano spazi oceanici.

8.4 Geomorfologia del territorio di progetto

L'assetto geomorfologico del territorio di Oristano è dovuto all'interazione degli aspetti geostrutturali dell'area con i processi esogeni, intendendo con il termine geostrutturali: la tettonica, i processi vulcanici, i caratteri litologici, ossia le caratteristiche chimico-fisiche che condizionano la resistenza dei materiali nei confronti dei processi di demolizione (composizione, coerenza, alterabilità, resistenza, fragilità, etc.), e quelli giaciturali; e con il termine processi esogeni: alterazione, erosione, trasporto e deposizione.

Giocano un ruolo attivo anche le condizioni climatiche, la presenza e lo stato di copertura vegetale e non ultima l'attività antropica.

Il territorio di progetto, per quanto in un primo momento possa sembrare omogeneo e monotono, mostra invece una considerevole variabilità di forme e processi morfogenetici, che creano paesaggi morfologici assai vari, di interesse didattico-scientifico e paesaggistico.

In esso si possono riconoscere due principali domini geomorfologici:

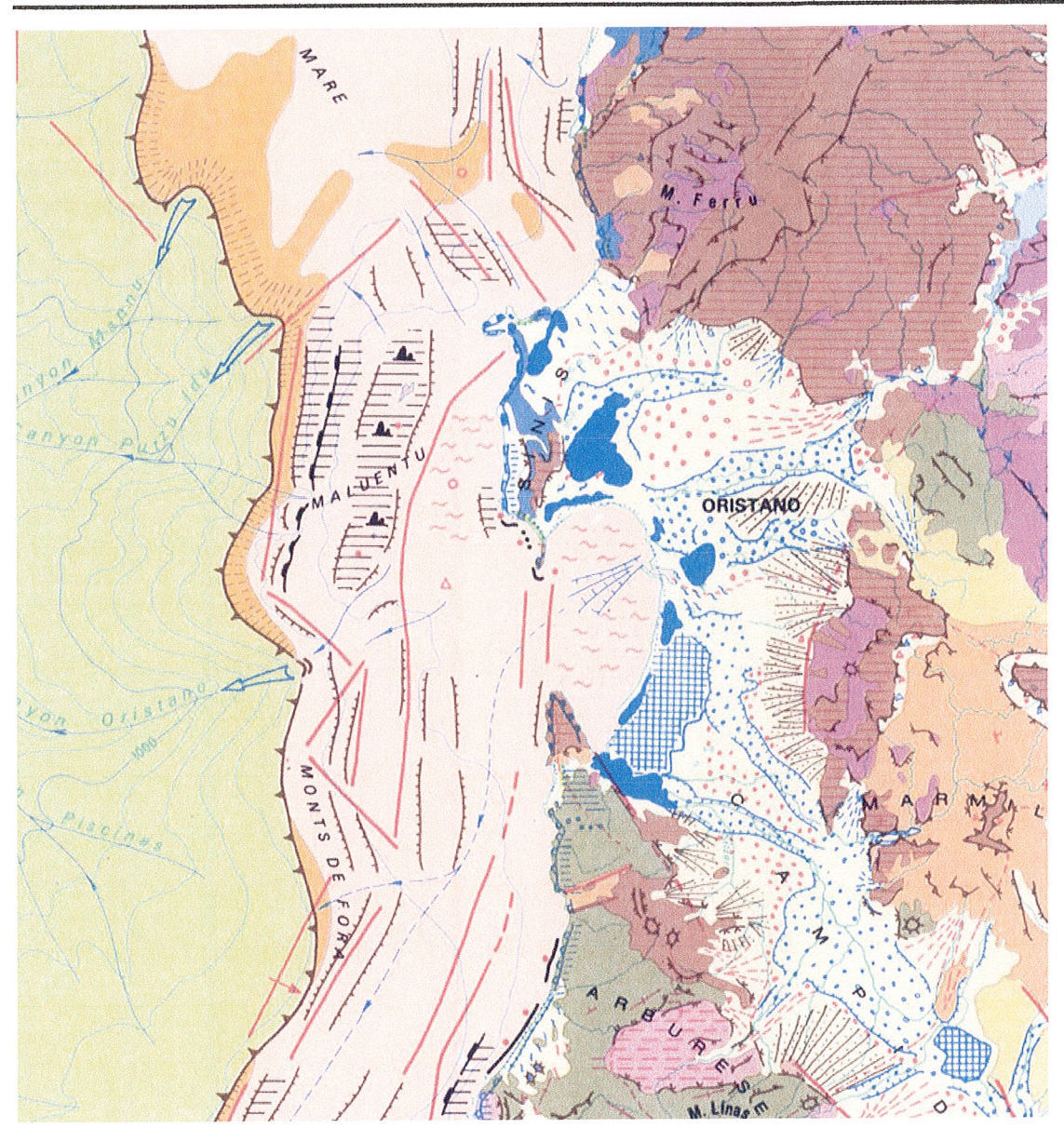
- la piana alluvionale del Tirso
- i campi dunali fossili, attuali e subattuali

Ognuna di queste aree presenta caratteri morfologici tipici molto diversi dalle altre, come conseguenza diretta della natura geostrutturale e dei processi morfogenetici in essa prevalenti.





Studio di compatibilità geologica e geotecnica – ex-Art. 8 c 2 NTA PAI



8.4.1 Mappa - L'area dell'Oristanese dalla Carta geomorfologica della Sardegna da Ulzega et alii

La piana alluvionale del Tirso

Il settore posto alle spalle della costa è costituito dalla piana alluvionale del Tirso.

L'area è attualmente caratterizzata da una regimazione idraulica superficiale originata al momento della trasformazione fondiaria e della bonifica del settore.

Il settore esterno alla golena arginata è drenato artificialmente attraverso una idrovora che ne allontana le acque superficiali consentendone l'utilizzo agricolo.

Tutta l'area veniva originariamente inondata nel corso delle piene inversali del Tirso, in particolare prima della costruzione della Diga di Santa Chiara.

I campi dunali fossili ed attuali e subattuali.

I campi dunali si rinvengono quasi con continuità lungo tutta la costa occidentale.



PIANO DI LOTTIZZAZIONE CONVENZIONATA NELLA SOTTOZONA C3 DEL P.U.C. COMPARTO B



Studio di compatibilità geologica e geotecnica - ex-Art. 8 c 2 NTA PAI

Nel nostro caso, l'esempio è costituito rappresentato dal vasto estendimento di dune subattuali ed attuali di Torre Grande e di quelle ormai consumate dall'attività estrattiva, del Cirras.

Le dune sono di tipo longitudinale, orientate prevalentemente secondo la direzione del vento prevalente. Il cuneo di sabbie eoliche, separato dalla spiaggia dal cordone dunale di retrospiaggia raggiunge e supera la provinciale che ne margina il piede di retroduna.

Negli anni '50 per cercare di fermare l'avanzata delle sabbie eoliche nell'entroterra è stata impiantata nella zona tra la provinciale e la spiaggia una pineta artificiale.

Particolarmente significativa è inoltre l'azione morfogenetica esplicata dall'uomo. Tra i processi antropici ricadono tutte le modificazioni del rilievo dovute all'attività umana, siano esse determinate deliberatamente dall'uomo, come costruzioni, strade, laghi artificiali, o siano consequenze morfologiche non previste di tali attività, come certi tipi di frane, dissesti, etc..

I principali processi morfogenetici

La fase morfogenetica principale responsabile dell'assetto morfologico dell'area in esame è certamente legata a fattori strutturali. Sotto questa voce si intendono le evidenze morfologiche legate sia alla natura litologica e giaciturale dei diversi affioramenti sia alle deformazioni tettoniche che li hanno interessati.

Lungo tutta la fascia costiera l'azione del vento ha dato luogo a vasti campi dunari, ed alcuni di essi sono ancora attivi.

Altri, come Torregrande, sono stati rimboschiti per cercare di stabilizzare le dune.

I campi dunali non protetti dalla vegetazione subiscono frequenti modificazioni ad opera del vento.

La costa occidentale è caratterizzata da tratti alterni di costa alta e rocciosa e costa bassa e sabbiosa.

Il settore del territorio comunale, che si affaccia nel golfo di Oristano, è caratterizzato, in gran parte, da una costa ad arco sabbiosa .

La spiaggia, comprendente anche il settore focivo del Tirso, è alimentata dagli apporti solidi del Tirso, nonostante il trasporto solido del fiume sia diminuito nel tempo per la presenza di alcune dighe di ritenuta lungo il suo corso, e sembra essere in una situazione di equilibrio. Non sono evidenti arretramenti della linea di spiaggia, forse anche per la presenza nella spiaggia sommersa di vaste praterie di posidonia che proteggono il sistema spiaggia dall'azione erosiva delle onde.

9. VULNERABILITA' IDROGEOLOGICA E ADEGUAMENTO DEL PUC AL PAI

9.1 Inquadramento territoriale e normativo

Nella redazione del Piano stralcio di bacino per l'assetto idrogeologico della Regione Sardegna il bacino unico regionale è stato suddiviso in sette sub-bacini.

Si è provveduto all'individuazione degli elementi a rischio presenti sul territorio ed alla perimetrazione delle aree a pericolosità e rischio idrogeologico, nonché della definizione dei criteri di salvaguardia, insieme ad una prima programmazione delle misure di mitigazione del rischio rilevato.

La redazione del PAI, per ragioni legate alla scala di analisi a livello regionale, alla disponibilità dei dati di base su scale ridotte, nonché ai tempi previsti per l'elaborazione, non ha consentito la mappatura di tutte le aree pericolose e i dissesti potenziali o in atto presenti sul territorio

Tali aree sono state quindi individuate e perimetrate con il dettaglio proprio delle mappature di pianificazione.



PIANO DI LOTTIZZAZIONE CONVENZIONATA NELLA SOTTOZONA C3 DEL P.U.C. COMPARTO B



Studio di compatibilità geologica e geotecnica – ex-Art. 8 c 2 NTA PAI

Il PAI avente valore di Piano di settore, prevale sui piani e programmi di settore di livello Regionale in quanto finalizzato alla salvaguardia di persone, beni, ed attività dai pericoli e dai rischi idrogeologici (N.T.A. PAI, Art. 4, comma 4).

Le previsioni del PAI prevalgono su quelle degli altri strumenti regionali di settore con effetti sugli usi del territorio e delle risorse naturali, sulla pianificazione urbanistica provinciale, comunale, delle Comunità montane, anche di livello attuativo, nonché su qualsiasi pianificazione e programmazione territoriale insistente sulle aree di pericolosità idrogeologica (N.T.A. PAI, Art. 6, comma 2). Sono fatte salve le norme di legge o di strumenti di programmazione e di pianificazione territoriale o di settore che direttamente o indirettamente stabiliscano per aree con pericolosità idrogeologica anche potenziale prescrizioni più restrittive di quelle stabilite dal PAI (N.T.A. PAI, Art. 4, comma 14). Nel caso di sovrapposizione delle discipline del PAI e del Piano Paesaggistico Regionale per le aree a pericolosità idrogeologica si applicano quelle più restrittive (N.T.A. P.P.R., Art 44).

In ottemperanza alle Norme di Attuazione del PAI si è provveduto a riportare alla scala grafica della strumentazione urbanistica vigente i perimetri delle aree a rischio R4, R3, R2 e delle aree pericolose H4, H3, H2 e ad adeguare contestualmente le norme dello strumento urbanistico (N.T.A. PAI, Art. 4, comma 5). Le N.T.A. PAI prevedono inoltre che nell'adeguamento della Pianificazione comunale vengano delimitate le aree di significativa pericolosità idraulica non perimetrate in precedenza dal PAI (N.T.A. PAI, Art. 26).

Ove si è ritenuto che le perimetrazioni del PAI non fossero sufficientemente adeguate a descrivere i problemi di pericolosità del territorio comunale, sono state effettuati studi di maggior dettaglio redigendo analisi idrauliche e/o geologiche a livello locale.

9.2 Finalità della disciplina dell'assetto idrogeologico

La disciplina dell'assetto idrogeologico si prefigge il raggiungimento di due obiettivi:
☐ la messa in sicurezza delle aree già antropizzate attraverso azioni strutturali e non
strutturali;
 la prevenzione del rischio attraverso norme d'uso del territorio.

Mentre la riduzione del pericolo o la mitigazione del rischio sono competenza di sponte regionale attraverso un piano programmatico di interventi.

La prevenzione è competenza sia del governo regionale attraverso regole e linee di indirizzo per l'uso del territorio sia del governo locale come attuazione delle regole generali del Piano ma, soprattutto, nella fase decisionale della pianificazione locale.

In tale ottica l'attività di indagine locale è stata operata, sia al fine di pervenire al necessario approfondimento delle problematiche sia, soprattutto, per sfruttare l'opportunità di pervenire a una conoscenza partecipata delle caratteristiche del territorio che consenta una assunzione condivisa delle decisioni.

La definizione delle aree di pericolosità ovvero di quelle aree soggette a fenomeni di dissesto quali aree esondabili o aree soggette a fenomeni franosi, è stata necessaria per fondare la pianificazione sulla base della sua zonizzazione e per la definizione della realizzazione delle necessarie opere, attività e interventi.

L'individuazione delle aree di pericolosità e degli elementi a rischio presenti sul territorio, porterà a riconoscere le aree a rischio ovvero le aree dove il realizzarsi di un fenomeno di dissesto può comportare danni, quantificabili con perdita di vite umane o di risorse del territorio.

La successiva quantificazione del danno atteso consentirà la programmazione degli interventi da realizzare per la mitigazione del rischio.



PIANO DI LOTTIZZAZIONE CONVENZIONATA NELLA SOTTOZONA C3 DEL P.U.C. COMPARTO B



Studio di compatibilità geologica e geotecnica – ex-Art. 8 c 2 NTA PAI

9.3 Procedura di adeguamento

In ottemperanza alle procedure di adeguamento descritte nelle Linee Guida per il Riordino delle Conoscenze e quindi al fine di rendere compatibili le trasformazioni territoriali connesse al rilascio delle concessioni e delle autorizzazioni comunali con la disciplina del PAI e il PPR, sono state redatte alla scala di pianificazione le aree di pericolosità e di rischio idrogeologico, ed adottate le norme di attuazione del PUC le prescrizioni e i vincoli per tali zone.

La perimetrazione è stata effettuata attraverso la procedura semplificata o approfondita.

In particolare, la procedura semplificata è stata adottata in alcune aree già

perimetrate dal PAI dove le informazioni portate dal PAI sono state ritenute adeguate e corrette e le perimetrazioni sono state solamente assestate sulla cartografia aerofotogrammetria di dettaglio.

La procedura approfondita è stata utilizzata per la definizione della mappatura della pericolosità da frana, attraverso la produzione di una carta della instabilità potenziale dei versanti, tarata con la disponibilità di informazioni di dettaglio su eventi storici o con rilievi diretti.

9.4 Indagine storica sui fenomeni di dissesto

Nell'ambito della procedura di adeguamento del PUC al PAI è stata attivata un'analisi conoscitiva dei fenomeni di dissesto e delle condizioni di pericolosità e rischio sul territorio comunale.

L'indagine svolta è consistita nell'esame della bibliografia presente che ha consentito l'identificazione delle aree storicamente soggette a dissesto idrogeologico.

Sono state consultate numerose fonti, analizzate e sintetizzate, che vengono elencate di seguito, utilizzate per le valutazioni sulla instabilità.

In particolare, sono state consultate:

□ Progetto Aree vulnerate Italiane (AVI) - Gruppo Nazionale Difesa Catastrofi Idrogeologiche del CNR (GNDCICNR), si tratta di una raccolta di dati storici di piene e frane messe a disposizione per la consultazione al sito internet www.gndci.cnr.it;

Lo Studio sulle Aree Vulnerate Italiane (AVI), svolto dal Gruppo Nazionale Difesa Catastrofi Idrogeologiche del CNR, operato per conto del CNR GNDCI, in Sardegna, dalla Geostudi descriveva fino al 1990 un significativo numero di eventi calamitosi di origine naturale talvolta suscitati, innescati o amplificati dall'attività umana.

Le schede S0 raccolte, pari a un totale di 189 per eventi di frana e 1366 per eventi meteorologici differenti, costituenti la notizia primaria dell'evento possono essere suddivise secondo le seguenti tipologie:

Le schede S0 raccolte nel corso della fase di Iº livello, relativamente alle fonti cronachistiche, ammontano a 2099, mentre nella fase di IIº livello sono state consultate le fonti cronachistiche (L'Unione Sarda e La Nuova Sardegna) nei periodi prossimi agli eventi meteorologici più importanti per un totale di circa 845 edizioni quotidiane.

Le notizie apportanti informazioni originali hanno consentito la redazione di ulteriori 74 schede S0.

Il totale delle S0 raccolte è stato di 2175.

Il periodo indagato con le ricerche cronachistiche va dal 01/01/1918 al 31/12/1990, mentre sono state ricevute schede rilevate dalle altre U.O. a partire dal 1906.

Le schede S1, prodotte accorpando le S0 provenienti da fonti diverse, sono relative a singoli eventi ed alla stessa data.

Le S2, costituite da diverse S1 di fonti diverse, costituiscono l'evidenza cronachistica degli eventi succedutisi tra il 01/01/1918 ed il 31/12/1990.



PIANO DI LOTTIZZAZIONE CONVENZIONATA NELLA SOTTOZONA C3 DEL P.U.C. COMPARTO B



Studio di compatibilità geologica e geotecnica – ex-Art. 8 c 2 NTA PAI

Le schede S3 Frane sono state compilate, come da istruzioni, raggruppando tutto il materiale inerente un evento franoso, ricorsivo o meno, arealmente definito.

Le schede S3 Piene riguardano invece un evento con un areale indefinito, cronologicamente ben delimitato.

Elenco delle schede del progetto AVI - CNR - GNDCI 1992

	S0 I°	S0 II°	S1	S2	S3
Frane	142	22	128	109	77
Piene	988	66	850	604	37
Nevicate		9			
Fulmini	28				
Gelate	4				
Mareggiate	133				
Terremoti	2				
Nebbie		7			
Varie	15				
Vento	127				
Altre aree	584	8			

Successivamente all'istituzione del DB, il numero di eventi è cresciuto, ed al 1998 erano registrate ben 218 frane in 180 siiti e 816 piene in 243 siti.

Occorre precisare che tale statistica riguarda tutti gli eventi di cui si possiedono informazioni in qualche misura, anche se non confermati da rilievi accurati ed accertati. La vulnerabilità dell'isola nei confronti di alluvioni e frane è in sensibile aumento, specialmente a causa delle pressioni antropiche.

I dati descrivono una sardegna sostanzialmente stabile, ma con il 50% degli eventi ricorsivi ubicati in Ogliastra, Barbagia, Sarrabus-Gerrei.

La parte settentrionale dell'isola è stata interessata nell'ultimo secolo da fenomeni di dissesto idrogeologico diffusi e/o localizzati.

□ Progetto SCAI - Studio sui Centri Abitati Instabili - Gruppo Nazionale Difesa Catastrofi Idrogeologiche del CNR G.N.D.C.I.

L'appartenenza del sottoscritto al Gruppo Nazionale per la Difesa dalle Catastrofi Idrogeologiche per la Linea 2 (Eventi franosi a grande rischio, Progetto SCAI), ha incentivato lo studio verso le situazioni a rischio e l'individuazione di quelle aree soggette interessate da paleofrane nell'ambito delle provincie di appartenenza del progetto: la provincia di Sassari e la provincia di Oristano. Tale programma di ricerca ha portato a risultati di un certo interesse, presentati in sede di Conferenza alle riunioni periodiche del G.N.D.C.I. nella sede del C.N.R. a Roma.Nell'ambito di tale lavoro è stato possibile anche individuare e segnalare, per la prima volta, la presenza di deformazioni gravitative profonde in Sardegna, dove finora il fenomeno non era stato identificato. La prima segnalazione venne comunicata nell'ambito delle "Giornate di Studio sulla Morfoneottetonica in Italia" (Tolentino 8/9 gennaio 1991). Nel complesso, la ricerca nel settore della stabilità dei versanti ha permesso di pubblicare un certo numero di lavori alcuni dei quali dedicati direttamente alle deformazioni gravitative profonde.



PIANO DI LOTTIZZAZIONE CONVENZIONATA NELLA SOTTOZONA C3 DEL P.U.C. COMPARTO B



Studio di compatibilità geologica e geotecnica – ex-Art. 8 c 2 NTA PAI

□ Progetto Naz. M.P.I. - C.N.R. "Dinamica, dissesti e tutela delle spiagge"

Fin dalla metà degli anni 80 è stata avviata a Sassari una linea di ricerca sulle fasce costiere successivamente confluita nel Progetto Nazionale 40% M.P.I. - C.N.R. "Dinamica, dissesti e tutela delle spiagge". In alcuni lavori le ricerche inerenti la dinamica dei litorali ed i problemi connessi hanno fatto parte di studi di maggior respiro che hanno riquardato anche la ricostruzione geomorfologica del territorio costiero e l'evoluzione del paesaggio nelle aree costiere. In particolare, nell'area della foce del fiume Liscia è stato possibile riconoscere differenti livelli di terrazzi sommersi in un successivo lavoro sono state calcolate, per la prima volta in Sardegna, le volumetrie di masse sabbiose in movimento nel corso di circa 18 mesi grazie alle diverse mappature eseguite sul fondale ed alla loro variazione morfologica, calcolata con programmi di grafica sulla base delle differenze geometriche tridimensionali. Lo studio delle zone costiere ha, nel corso del tempo, prodotto lavori che sono stati talvolta oggetto di comunicazioni scientifiche anche a congressi internazionali riportando i dati sulla situazione delle coperture eoliche nell'arcipelago di Olbia o riferendo i dati sull'apporto del materiale detritico sulle spiagge dell'intero nord Sardegna evidenziando in tal modo sia l'importante modificazione antropica indiretta sui litorali, sia il ruolo che talvolta possiedono questi materiali nell'individuazione dei moti di deriva litoranei e l'uso che può avere una tale cartografia nell'ambito della programmazione del territorio costiero. Sono stati conclusi altri lavori inerenti l'assetto delle coste settentrionali e le condizioni di erosione nelle aree ritenute più fragili che hanno condotto alla realizzazione di lavori di interesse regionale sull'assetto costiero del nord Sardegna e dell'intera isola.

□ Servizio Geologico Nazionale (SGN) in collaborazione con le Regioni e le Provincie Autonome, Progetto IFFI, Inventario dei Fenomeni Franosi in Italia, messo a disposizione nel sito dell'APAT;

Lo studio ha censito 1.523 fenomeni e compilato le relative schede contenenti le informazioni di 1°

livello, di 2º livello e nella misura del 88 % di 3º livello.

Ad ogni frana è stato associato almeno un elemento iconografico di riferimento; nei casi di grande estensione si è provveduto a più foto, talora estratte da fotoaerea Ortofoto A.I.M.A. (1997).

□ Le frane della Sardegna - Sebastiano Crinò - da "L'ingegnere" - Roma, 1930;
 Censimenti e catalogazioni o raccolta di notizie effettuati presso Province, Comunità Montane, Comuni limitrofi;
□ Progetto VAPI – Valutazione delle Piene in Sardegna – Pubblicazione CNR 1418;
□ Memorie e testimonianze storiche di particolari eventi di piena e di frana storica.

Le informazioni raccolte e successivamente mappate sono state verificate a campione per la verifica dello stato attuale dei luoghi che sono stati interessati da fenomeni di dissesto, l'eventuale persistere di situazioni di pericolo e la valutazione dello stato e dell'efficacia delle opere di messa in sicurezza adottate.

Il materiale informativo raccolto ha costituito la base di partenza per la conoscenza della vulnerabilità del territorio e della sua sensibilità nei confronti dei fenomeni di dissesto



PIANO DI LOTTIZZAZIONE CONVENZIONATA NELLA SOTTOZONA C3 DEL P.U.C. COMPARTO B



Studio di compatibilità geologica e geotecnica – ex-Art. 8 c 2 NTA PAI

idrogeologico ed ha rappresentato un ulteriore supporto alla definizione delle aree di pericolosità.

8.5 Tematismi territoriali di riferimento per le analisi e cartografia finale di adeguamento

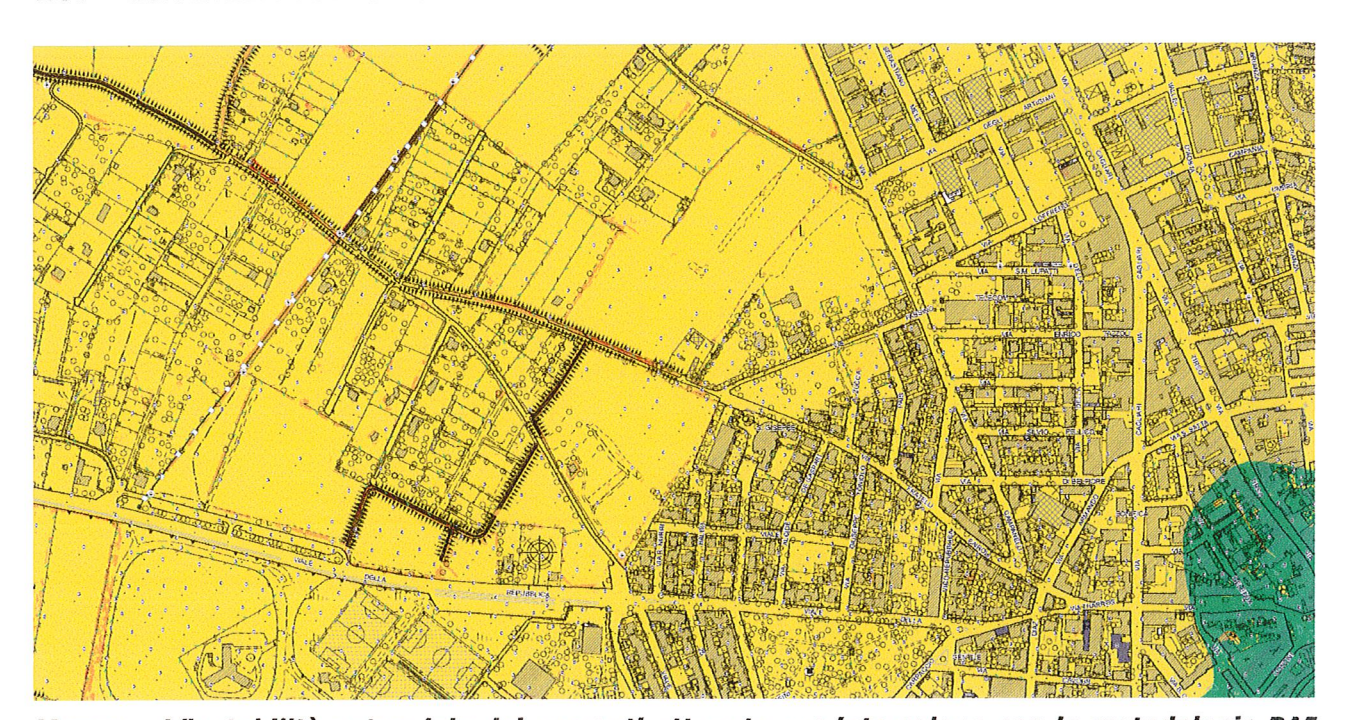
La procedura utilizzata per la definizione della instabilità potenziale dei versanti ha utilizzato una serie di tematismi derivanti dalle cartografie di analisi di base, fattorizzate attraverso valutazioni di varia natura, seguendo una metodologia pubblicata sul Notiziario dell'Ordine dei Geologi, Geologia Tecnica, e variato in funzione della disponibilità dei temi richiesti e dell'approfondimento necessario.

I tematismi utilizzati sono:

- 1. Acclività:
- 2. Geo-litologia;
- 3. Uso del suolo;

Con l'ausilio di tali informazioni rese efficaci attraverso una fattorizzazione è stata prodotta una Carta della Instabilità Potenziale dei Versanti, che è stata confrontata con le informazioni reperite negli inventari, studi e ricerche sulla franosità e i dissesti consultati.

10. LE AREE FRANOSE O POTENZIALMENTE FRANOSE



Mappa – L'instabilità potenziale dei versanti ottenuta per interazione con la metodologia PAI convertendo i valori di instabilità potenziale in pericolosità potenziale nella scala PAI.

La carta della pericolosità connessa ai fenomeni franosi costituisce una valutazione della pericolosità da frana finalizzata alla zonazione del territorio in aree suscettibili di innesco.

Per i fenomeni franosi in genere, quindi, i modelli predittivi si limitano a definire dove un determinato fenomeno è possibile che accada e con quale probabilità, senza determinare in modo esplicito i tempi di ritorno e le intensità.

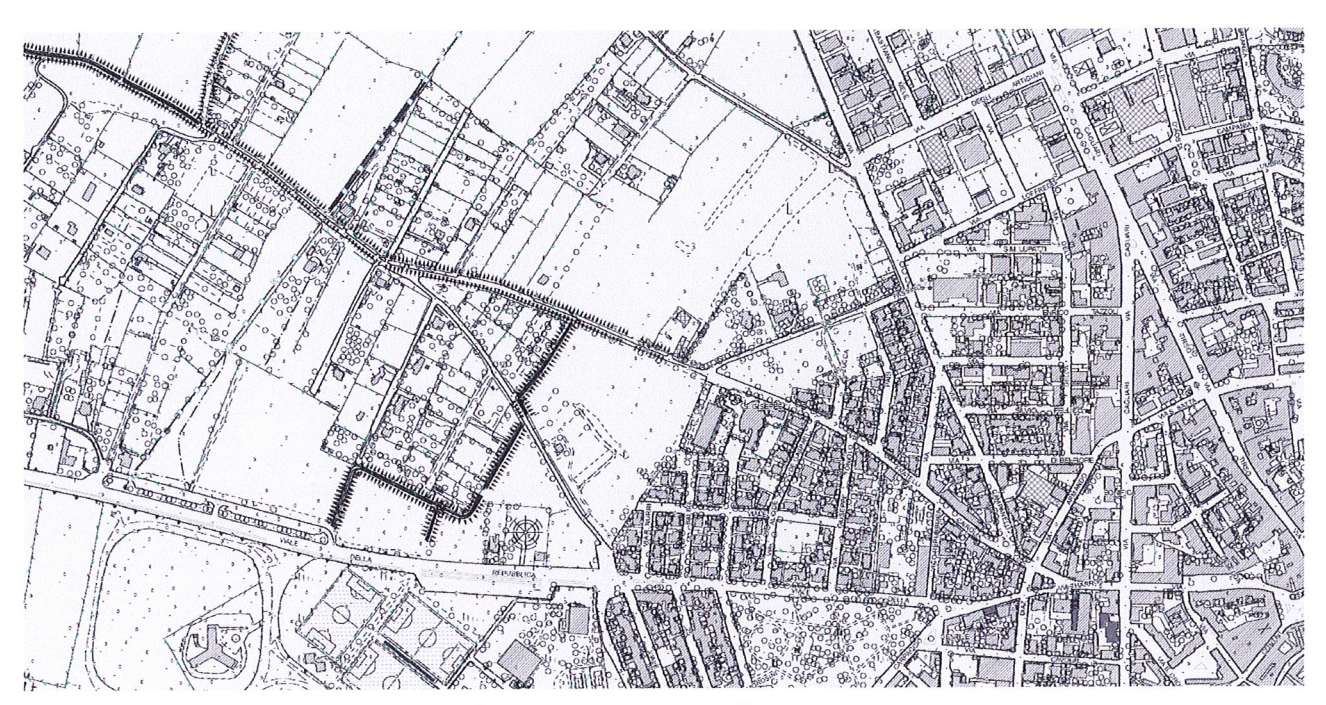




Studio di compatibilità geologica e geotecnica – ex-Art. 8 c 2 NTA PAI

Le aree individuate nella carta prodotta sono state definite di massima attraverso le metodologie illustrate e verificate con sopralluoghi.

Il territorio di progetto, per motivi morfologici, è povero di condizioni che facilitino l'avviarsi di fenomeni di instabilità e conseguentemente **non è stata mappata pericolosità di frana** pur essendo la instabilità potenziale risultante dai parametri, di livello Hg2.



Mappa - La carta della pericolosità reale del settore di progetto





Studio di compatibilità geologica e geotecnica – ex-Art. 8 c 2 NTA PAI

11. LA COMPATIBILITÀ DELLA ZONIZZAZIONE PROPOSTA NEL PROGETTO

Il territorio, è mappato dal progetto AVI, dal PAI e dall'IFFI, e non è interessato in nessun modo da problematiche morfologiche.

Non sono presenti fenomeni storici o comunque anche recentemente censiti, significativi.

In particolare, non si riconoscono eventi o frane potenziali nel settore di progetto.

In ogni caso la trasformabilità del progetto non può non prevedere altro se non il rispetto delle limitazioni derivanti dai livelli di pericolosità Hg.

Il progetto è quindi compatibile con la pericolosità di frana riscontrata.

Geologo Roberta Maria Sanna

ORDINE DEI GEOLOGI

DEGLONE SARDEGNA

N. 120 Pott. Geol ROBERIA MARIA SANNA

Ing. Davide Sechi

PROVINCIA ORISTANO

1. 161 Mg. Devide Sechi

Collaboratore: Geologo Fausto Alessandro Pani

REGIONE SARDEGNA

N. 88 Dott. Grol. FAUSTO AUSSAMBRO PANI